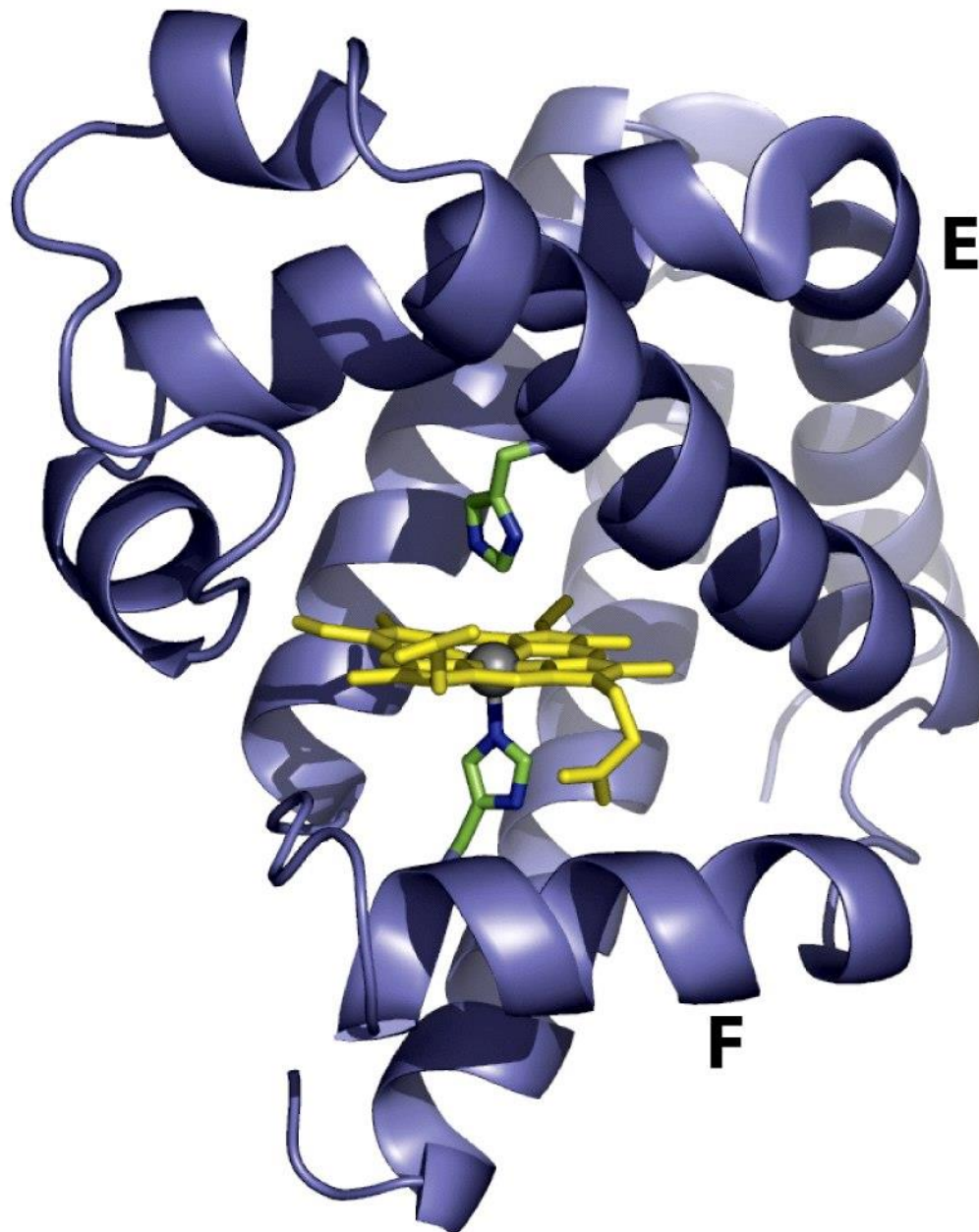


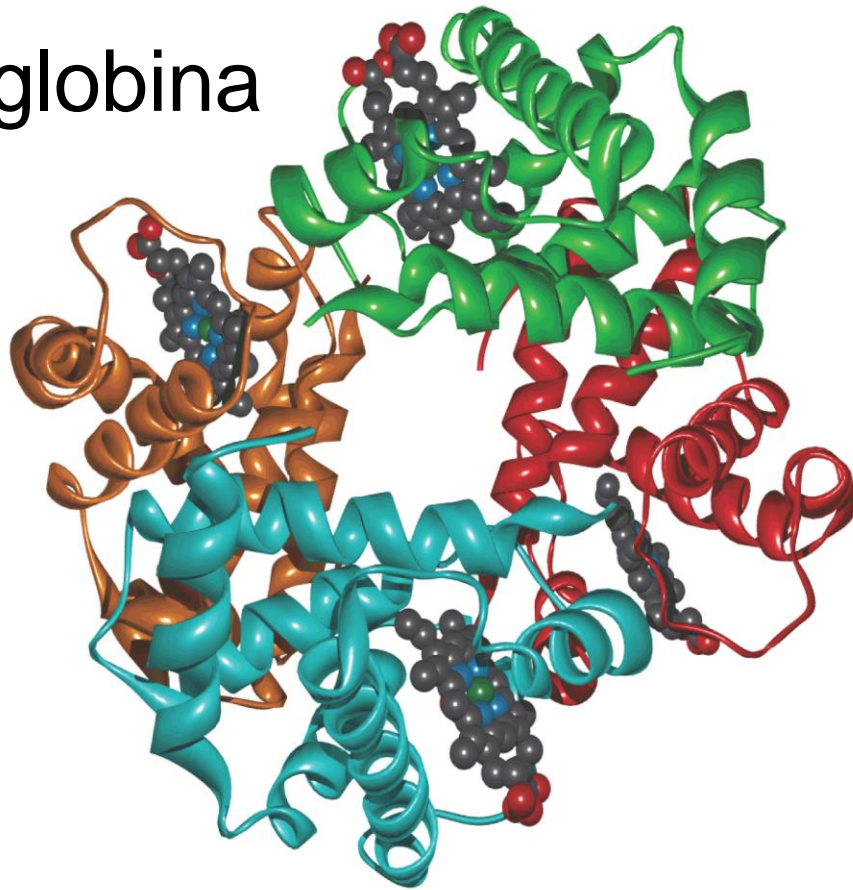
Mioglobina

17.8 kDa

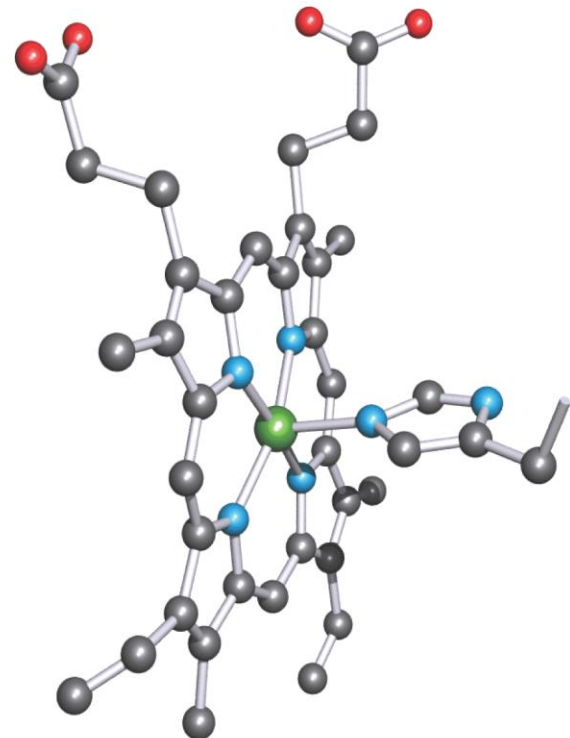


ca. 6% Fe_{tot}

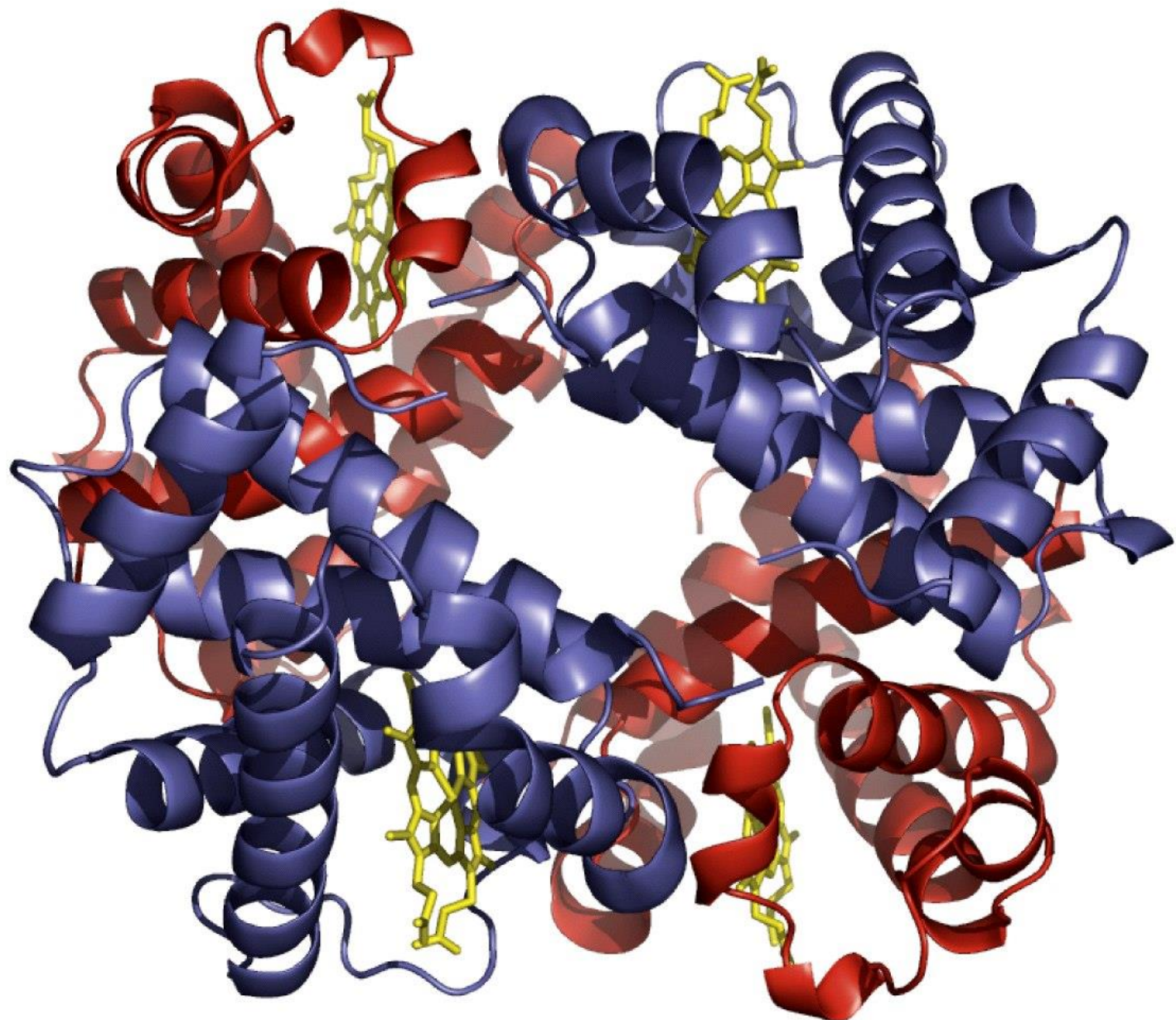
Emoglobina



tetramero $\alpha_2\beta_2$ 141 e 146 a.a. 64.5 kDa

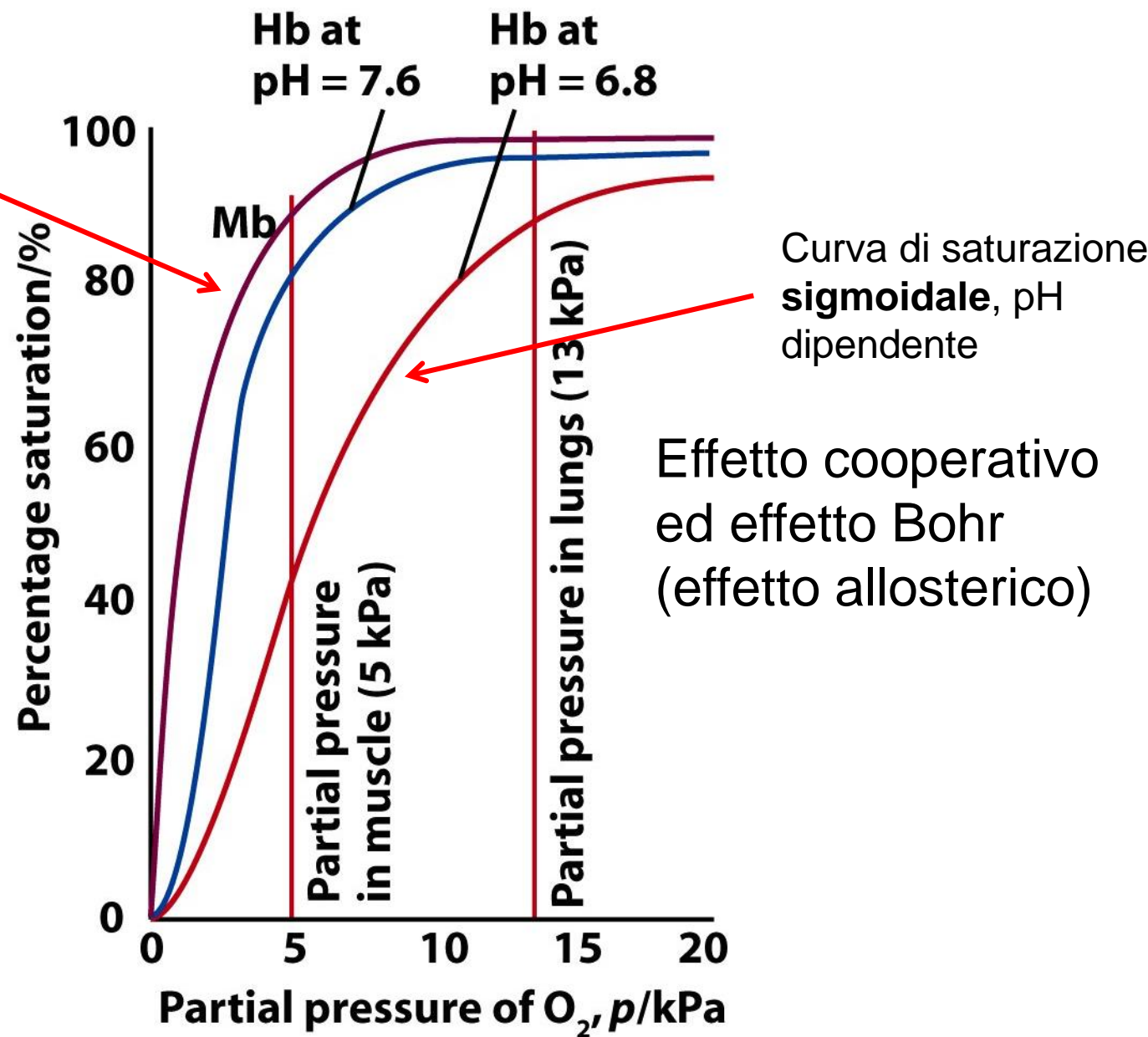


ca. 65% Fe_{tot}



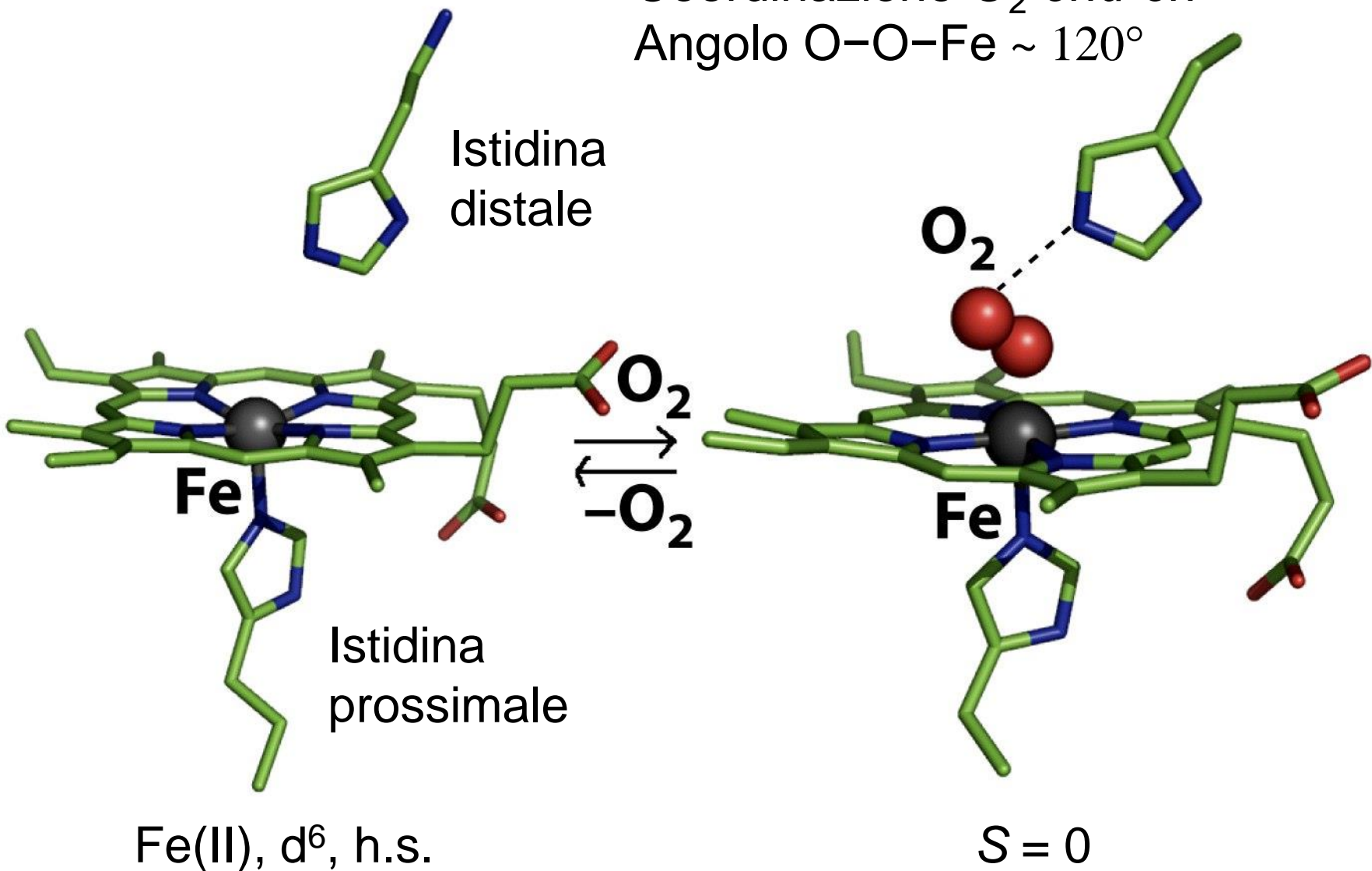
tetramero $\alpha_2\beta_2$

Curva di saturazione
iperbolica



La coordinazione di CO_2 e protoni (pH) alla catena proteica dell'emoglobina causa variazioni conformazionali che influenzano l'affinità dell'eme per O_2

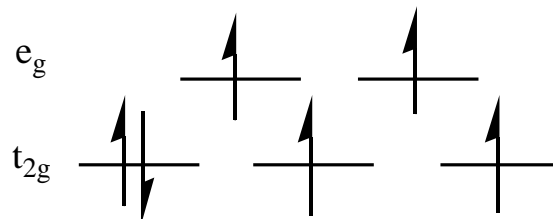
Coordinazione O₂ end-on
Angolo O-O-Fe ~ 120°



desossi:

$S = 2$

paramagnetica



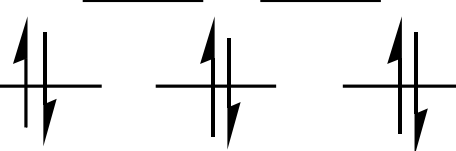
$\text{Fe(II), } d^6 \text{ paramagnetico}$

Pauling Weiss

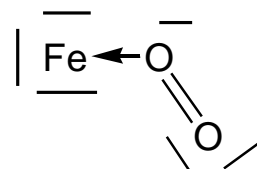
ossi:

$S = 0$

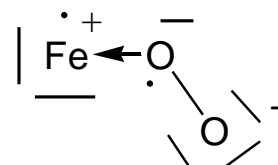
diamagnetica



$\text{Fe(II) } d^6 \text{ basso spin}$
 $+ {}^1\text{O}_2 \text{ legato}$

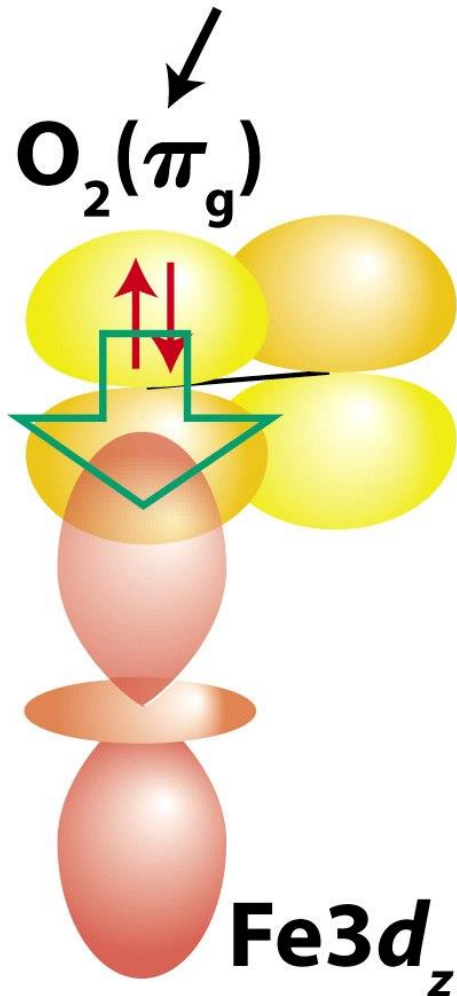


$\text{Fe(III) } d^5 \text{ basso spin}$
 $+ {}^2\text{O}_2^- \text{ legato}$

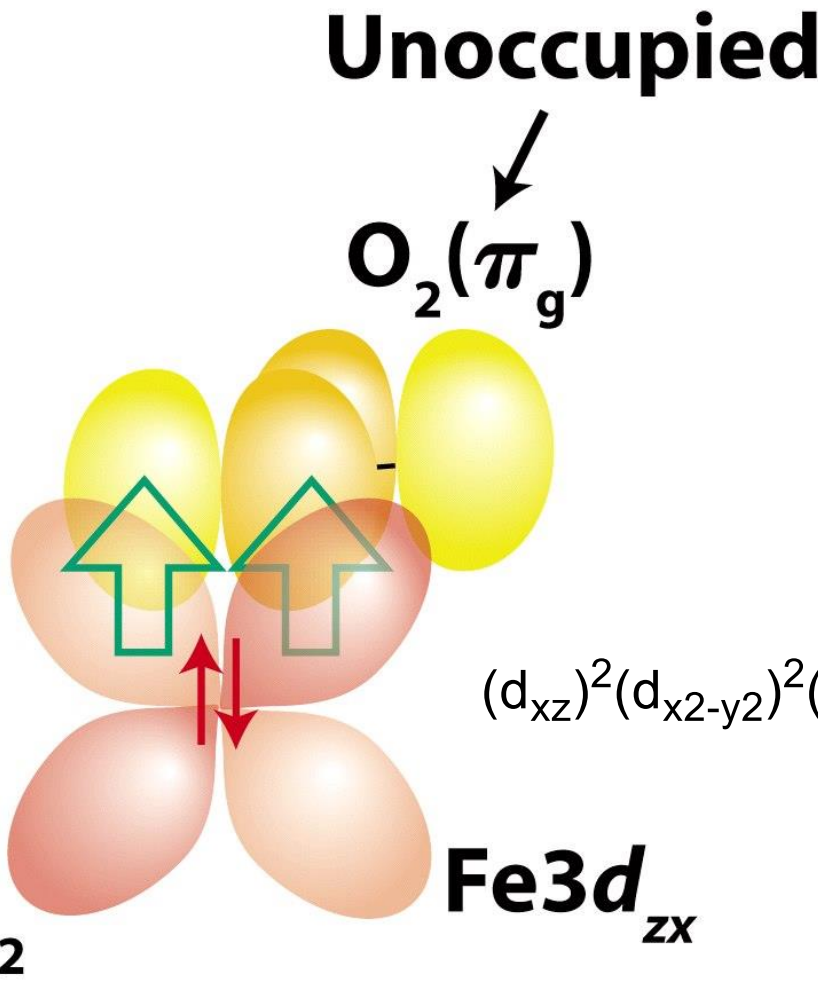


Modello di Pauling: Fe(II) l.s. + $^1\text{O}_2$

(a) Occupied



(b)



Pauling

Fe^{II} / O₂

S = 0



$$(d_{xz})^2(d_{x^2-y^2})^2(d_{yz})^2(\pi_a^*)^2$$

McClure/Goddard

Fe^{II} / O₂

S = 1



$$(d_{xz})^2(d_{x^2-y^2})^2(d_{yz})^1(d_{z^2})^1(\pi_a^*)^1(\pi_b^*)^1$$

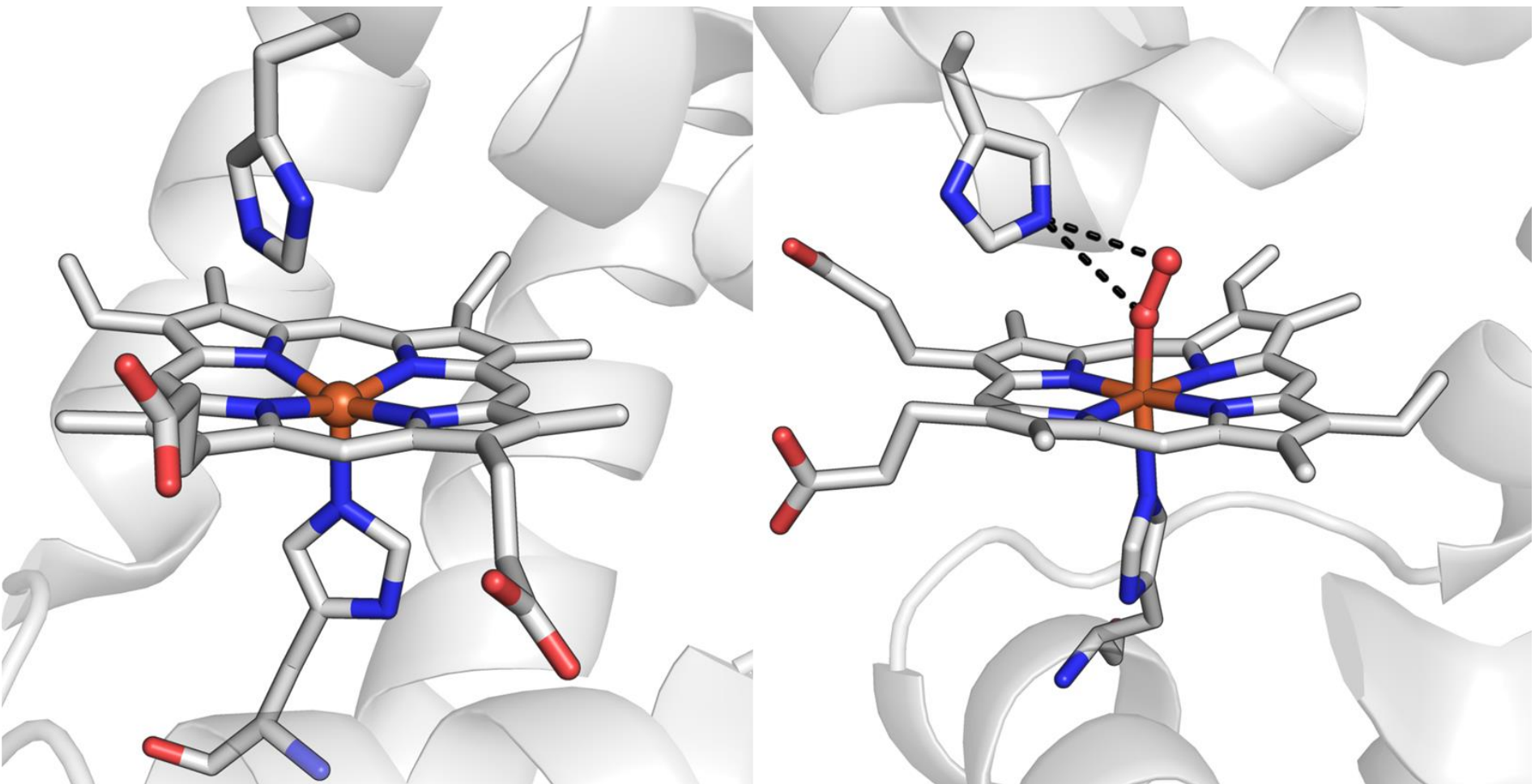
Weiss

Fe^{III} / O₂⁻

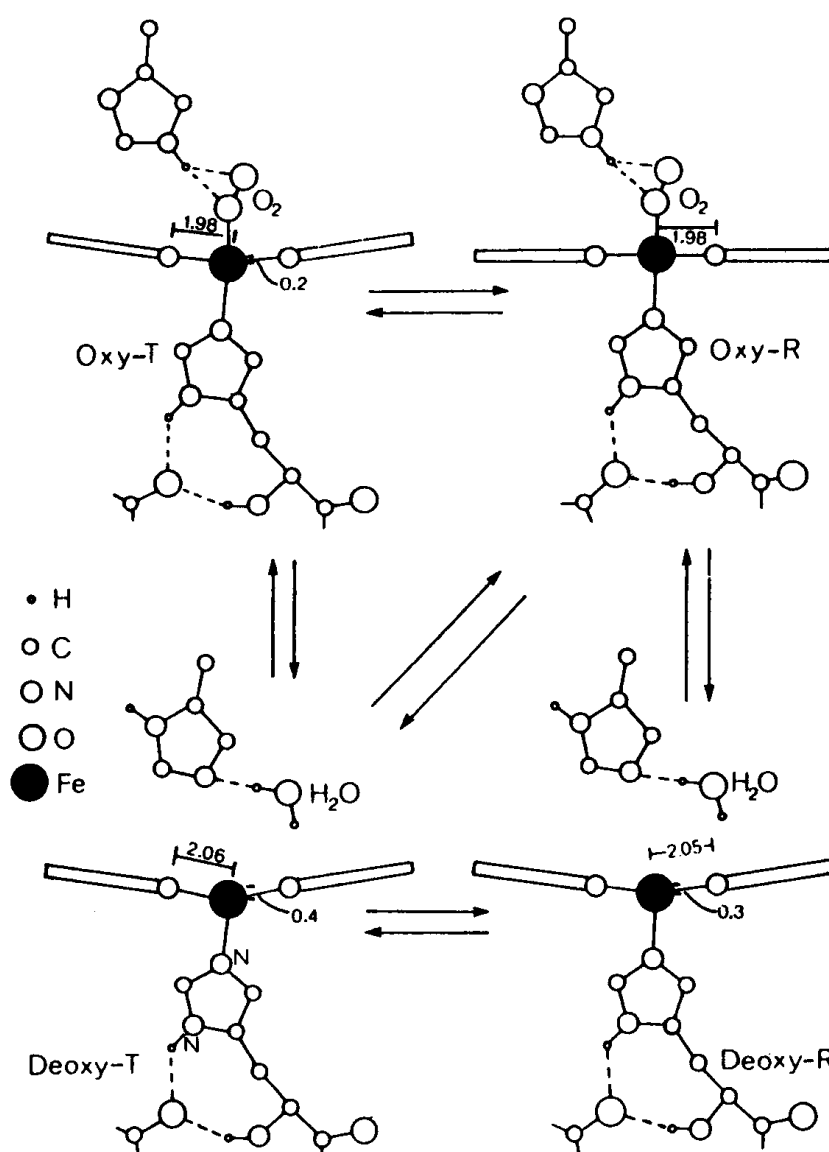
S = 1/2



The emerging bonding situation includes an essentially ferrous iron center, little charge transfer to O₂ and minor superoxide character of the non-innocent ligand, significant double-bond properties of the Fe–O₂ interaction, and three-center ozone-like electron delocalization.

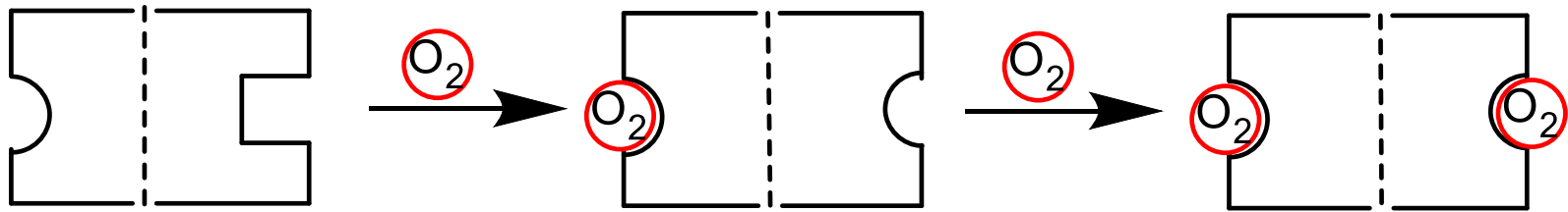


Fe(II) h.s.: 0.92 Å
Fe(II) l.s.: 0.75 Å
Fe(III) l.s.: 0.55 Å

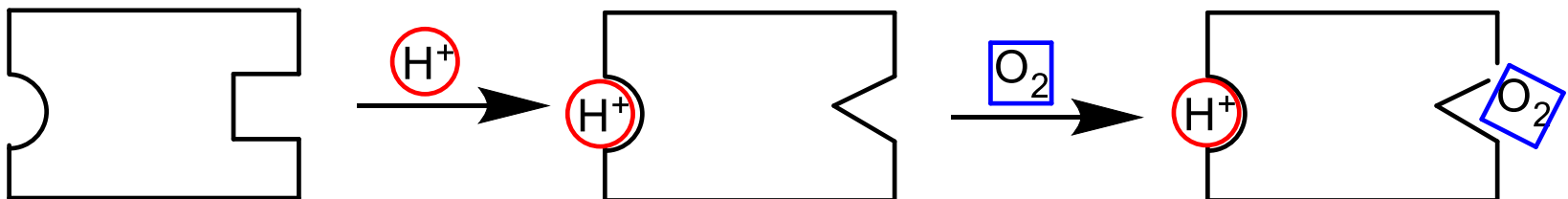


I'affinità della forma R per O_2 è circa la stessa delle catene α e β isolate, cioè della Mb, mentre quella della forma T è circa 12 – 14 kJ/mole inferiore

allosterismo = il cambio di attività e conformazione di un enzima in seguito al legame di un composto (effettore) ad un sito dell'enzima diverso da quello attivo



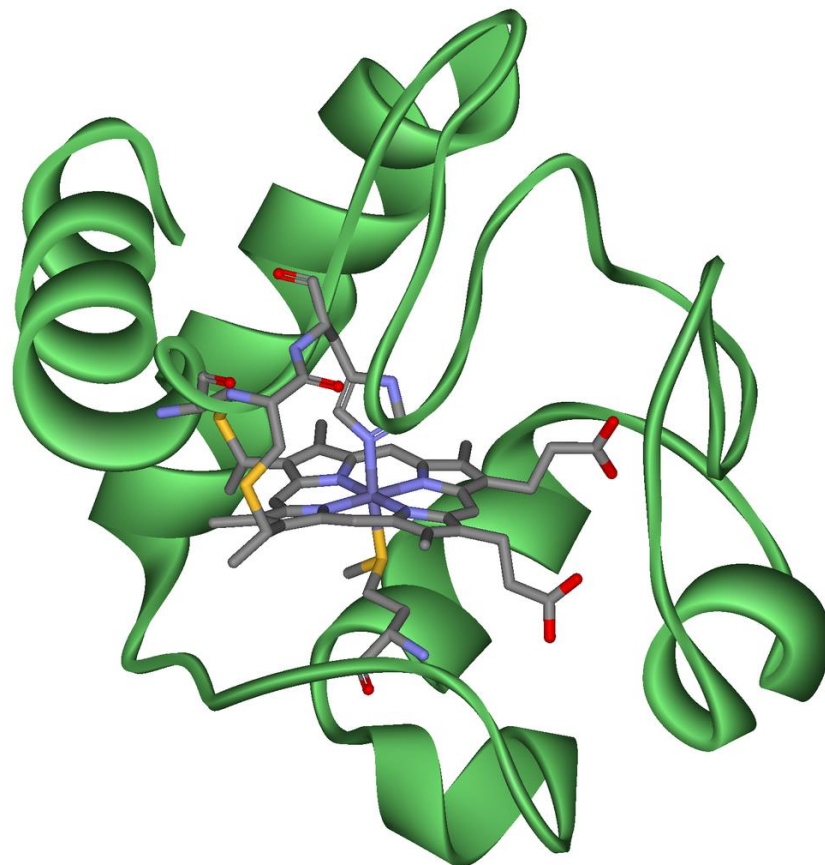
Allosterismo Omotropico



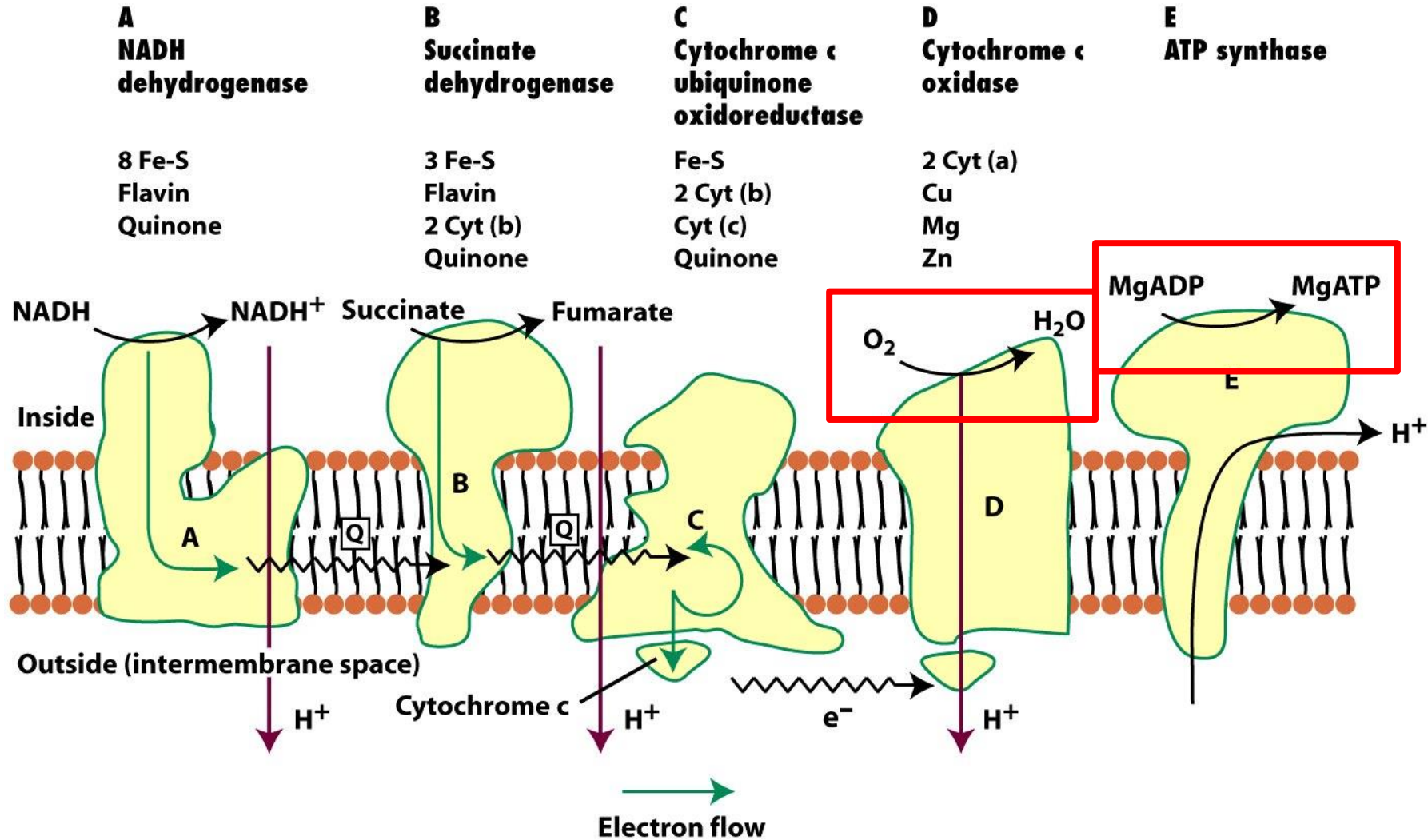
Allosterismo Eterotropico (Effetto Bohr)

Citocromi

Cytochromes are redox-active proteins containing a heme, with a central iron (Fe) atom at its core, as a cofactor.

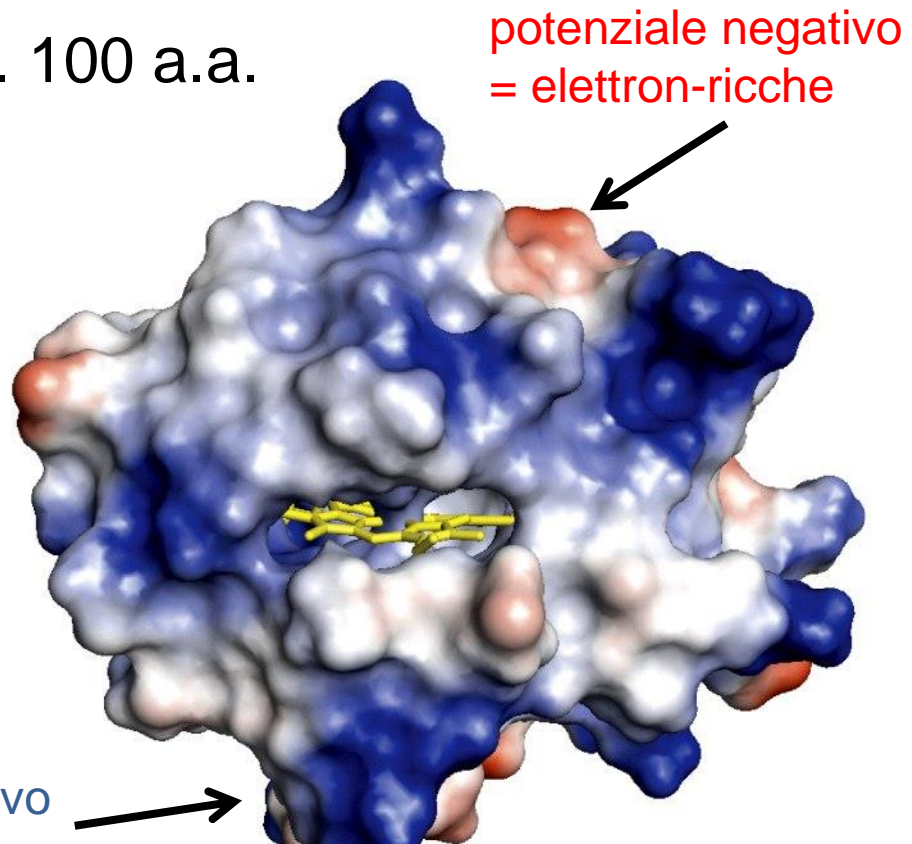
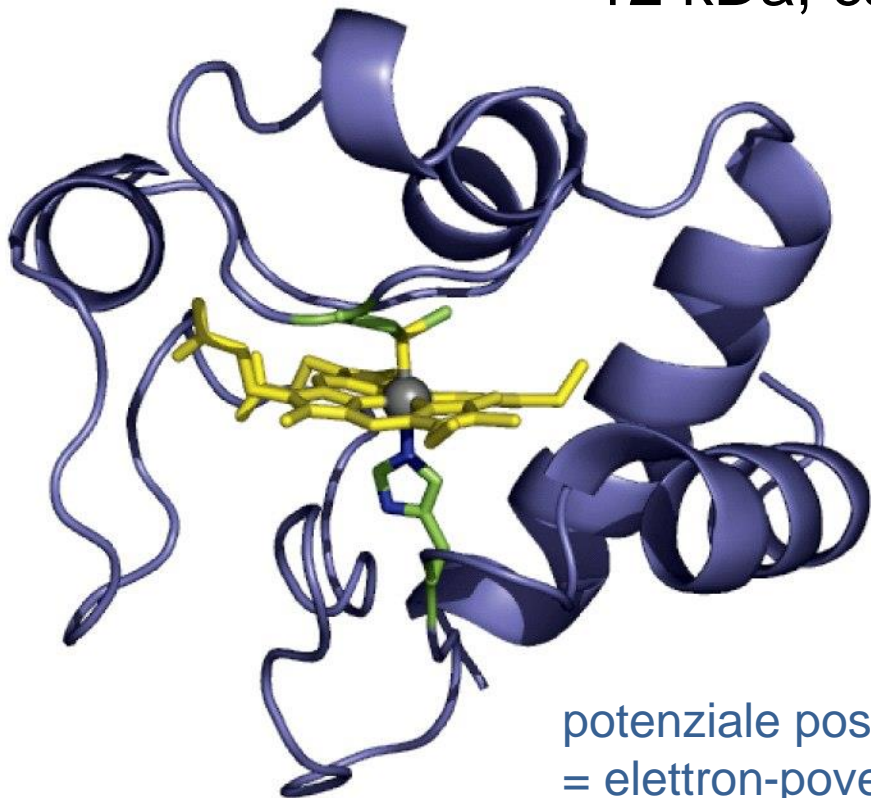


Catena della respirazione cellulare



Citocromo c (da cuore di cavallo)

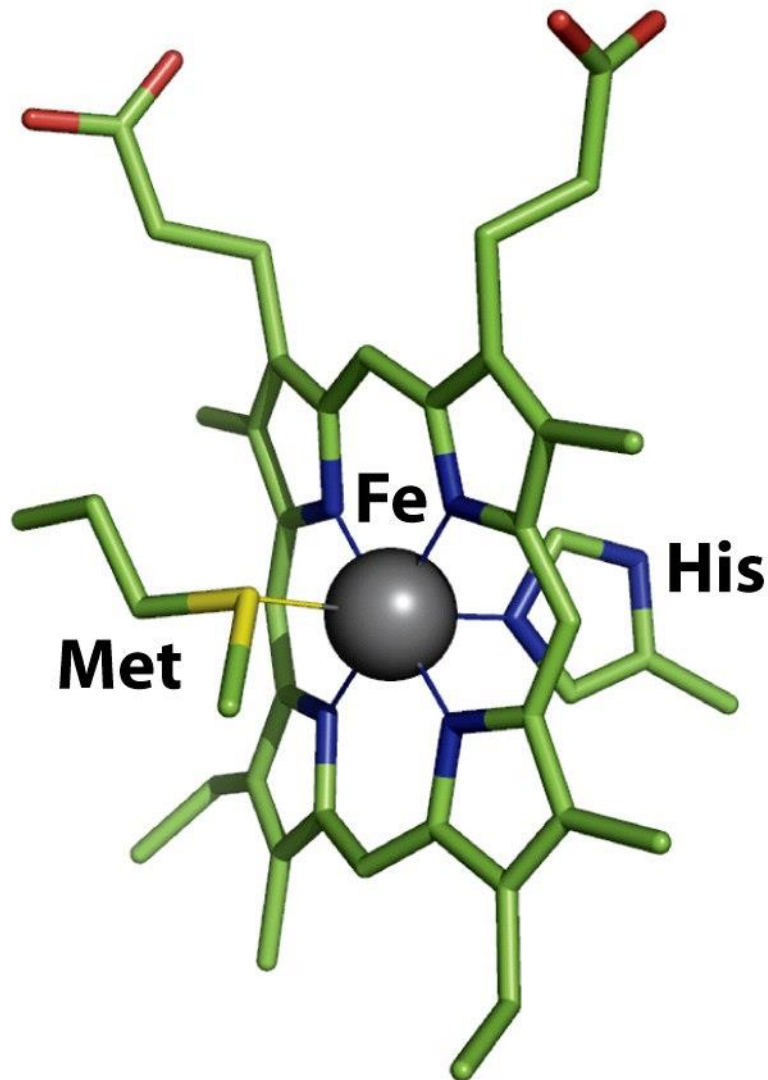
12 kDa, ca. 100 a.a.



$$E_{\text{Fe(III)/Fe(II)}} = +260 \text{ mV}$$

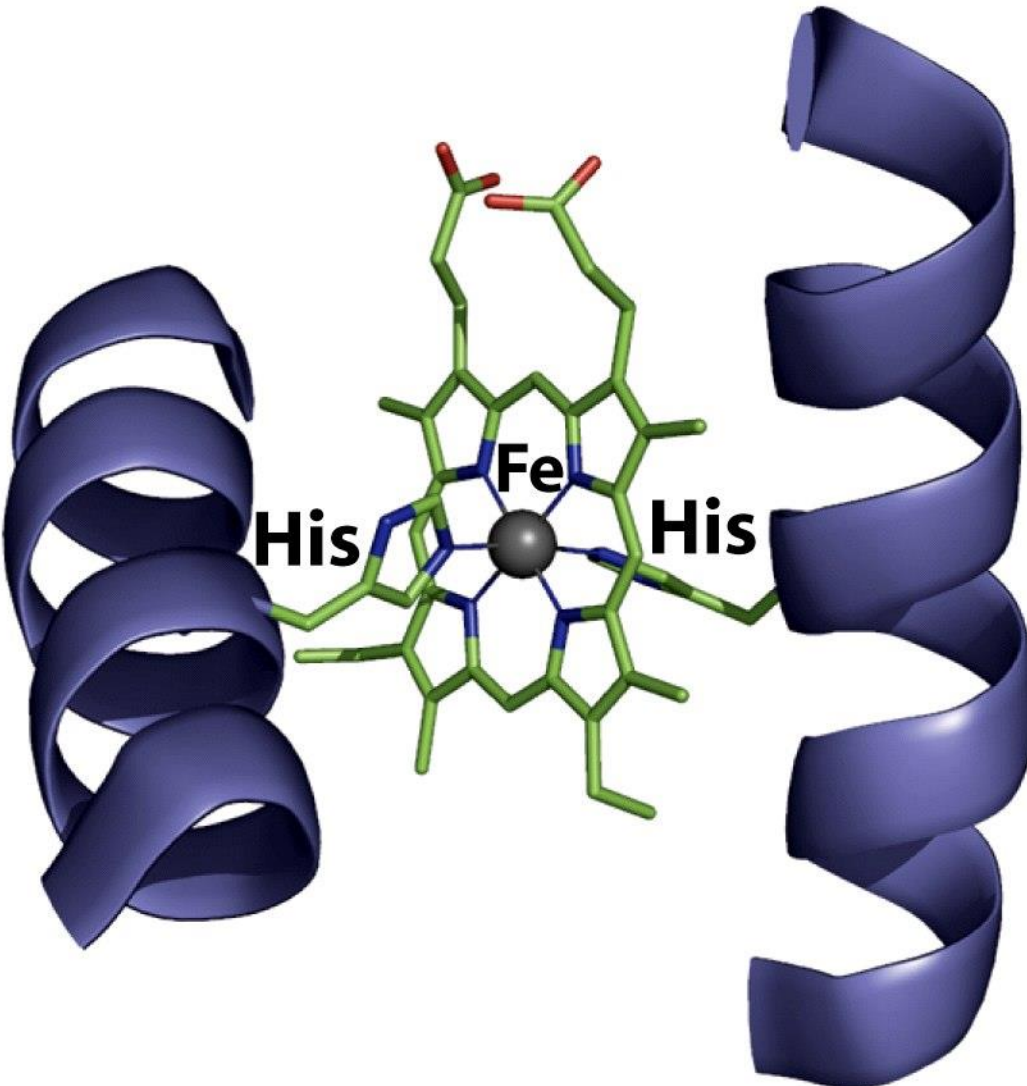
Il Fe è basso spin in entrambi gli stati di ossidazione

Gruppo eme nel Citocromo c



$$E_{\text{Fe(III)/Fe(II)}} = +260 \text{ mV}$$

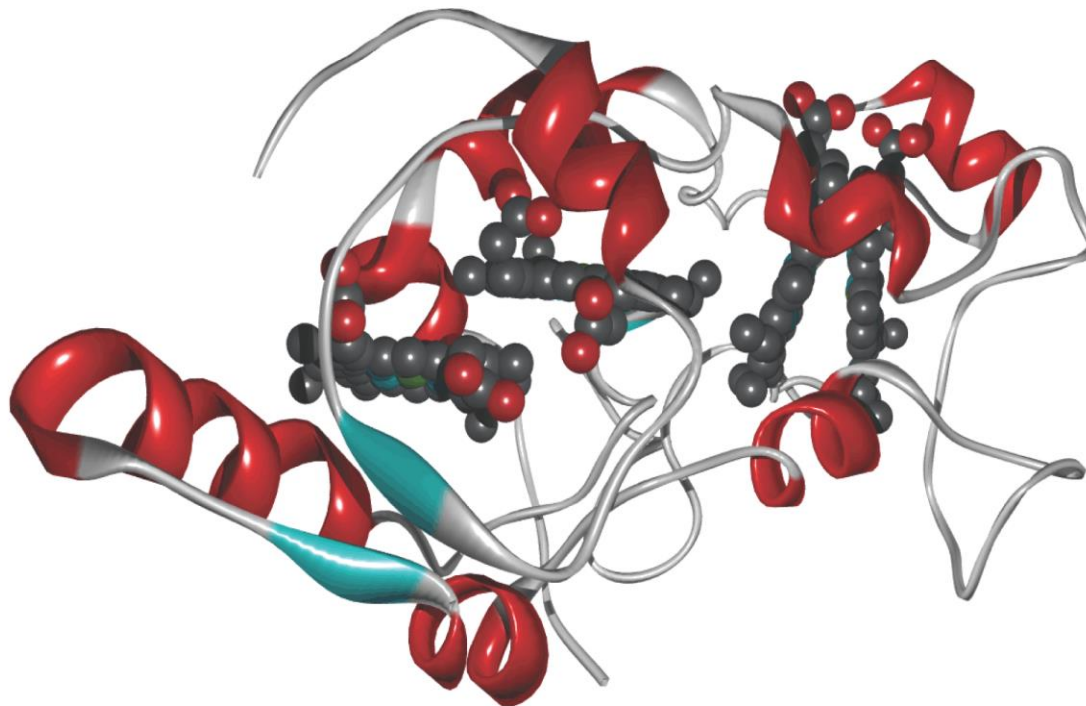
Gruppo eme nel Citocromo b



$$E_{\text{Fe(III)/Fe(II)}} = +20 \text{ mV}$$

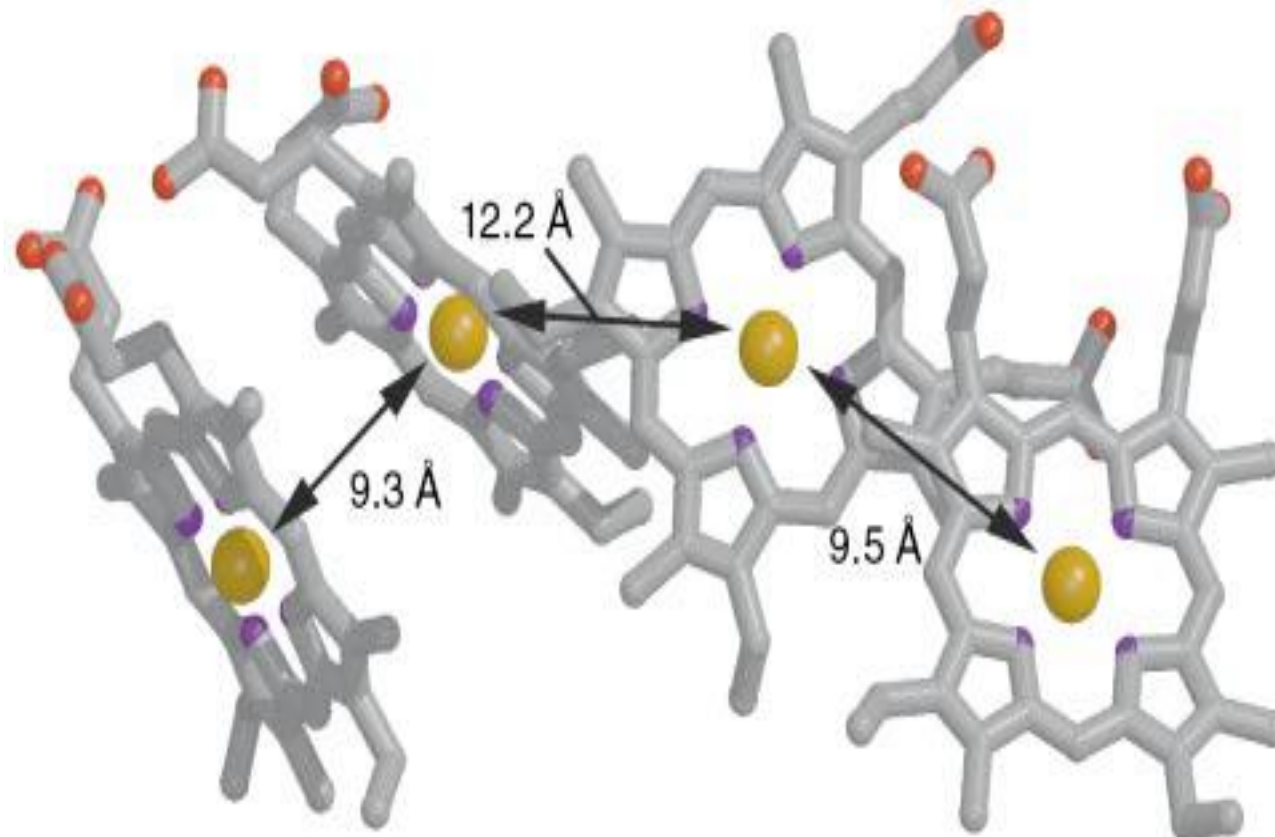
Citocromo c554

(nitrificazione catalizzata da batteri)



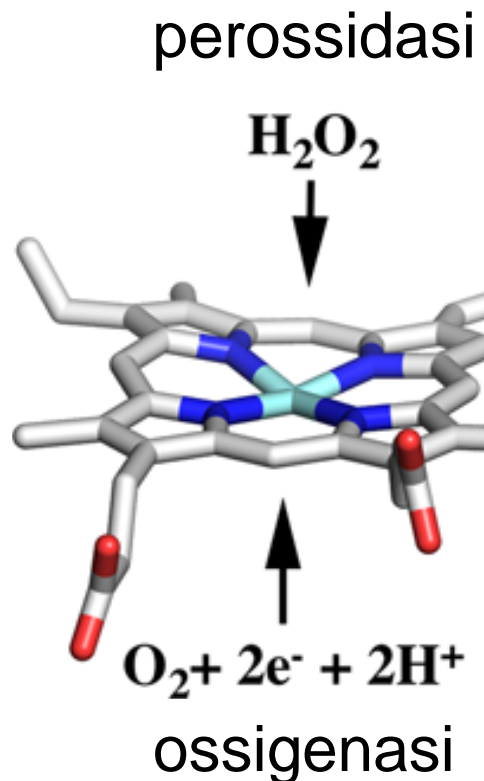
Distanze Fe···Fe \approx 950, 1220, 920 pm

Citocromo c554

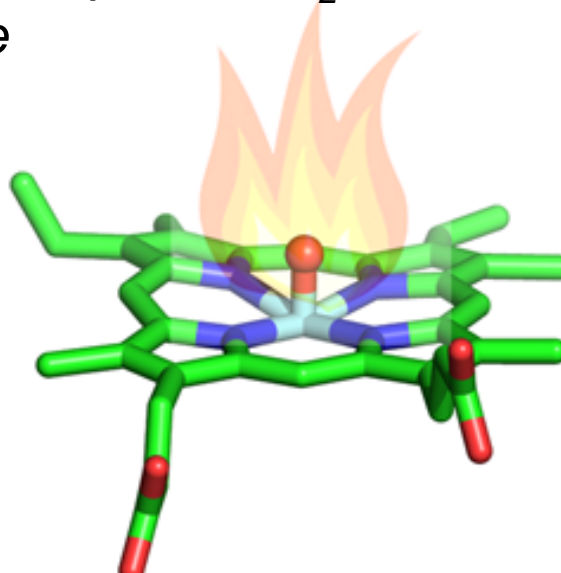


Perossidasi e Ossigenasi

Ossidazioni catalizzate da eme-proteine



$\text{H}_2\text{O}_2 = \text{intermedio indesiderato}$
nell'ossidazione fotosintetica di H_2O o per
riduzione incompleta di O_2 durante la
respirazione

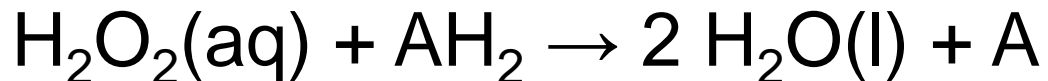


ossidare non sempre implica anche ossigenare i substrati

Perossidasi e Catalasi

e.g. *lignina perossidasi, horse-radish perossidasi (HRP), Citocromo c perossidasi, ascorbato perossidasi...*

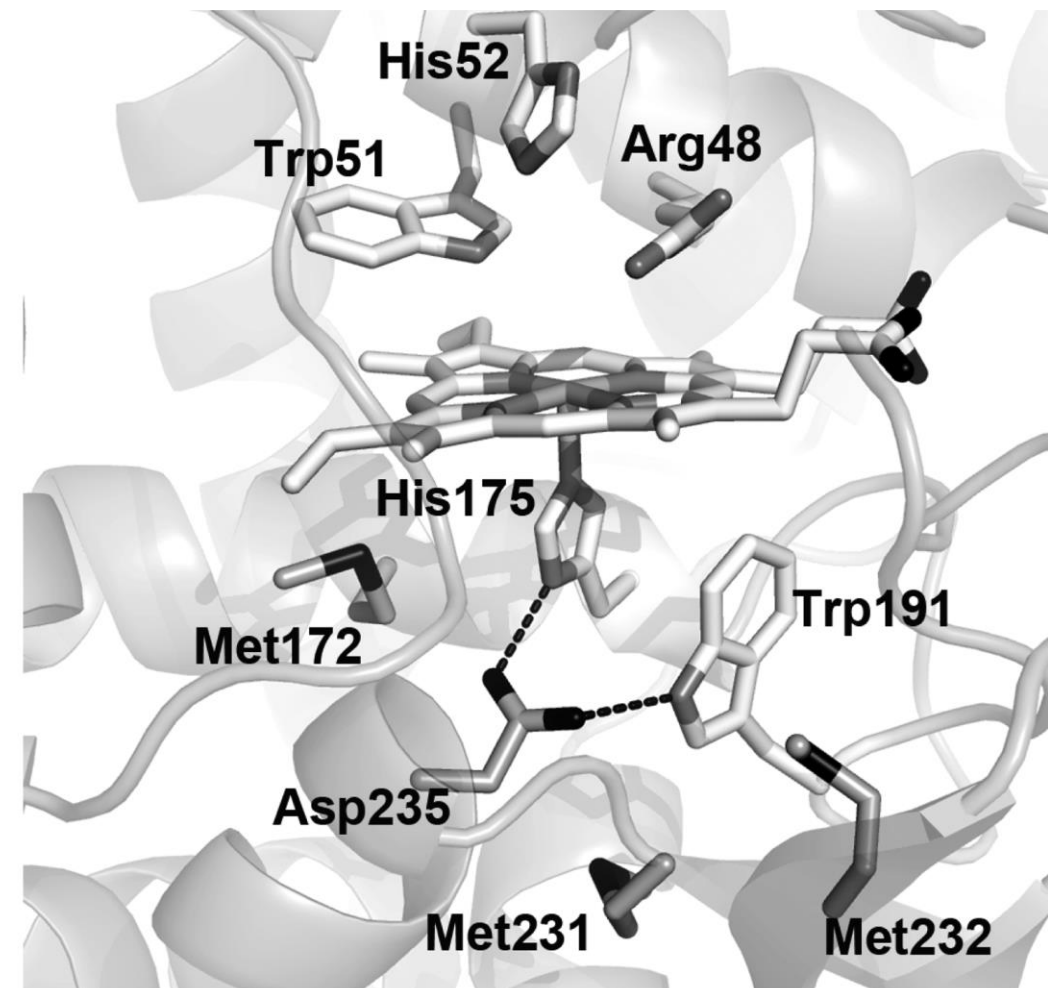
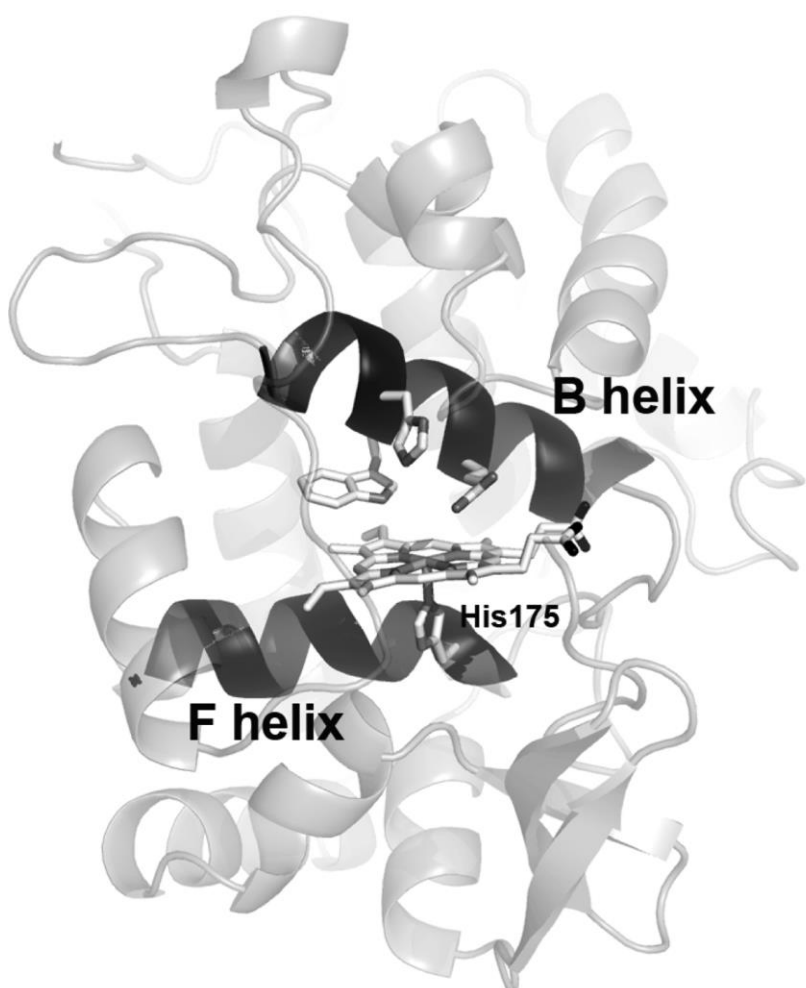
sono anche enzimi detossificanti



Substrati AH_2 : acidi grassi, ammine, fenoli, tossine xenobiotiche,..

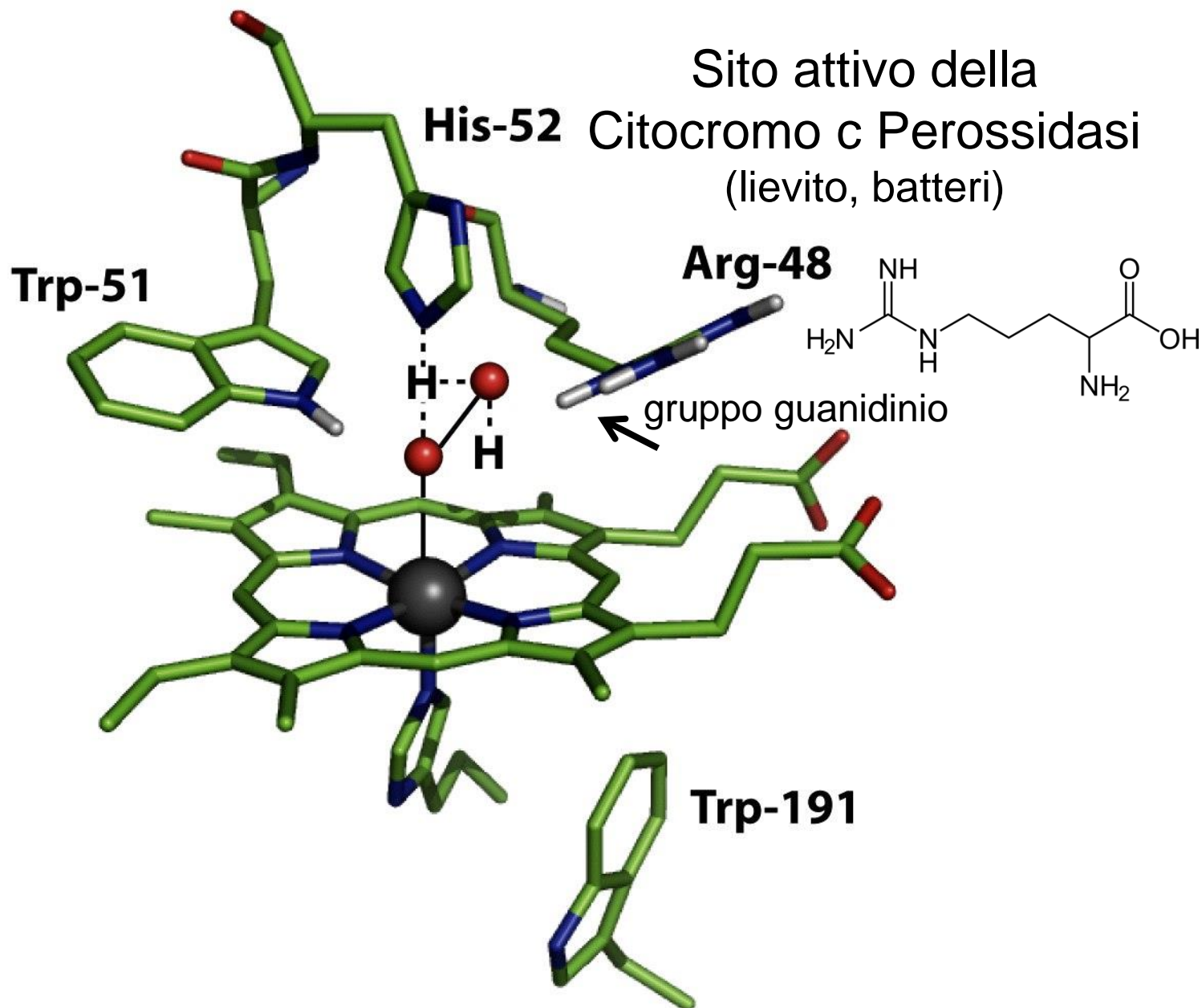
Citocromo c Perossidasi

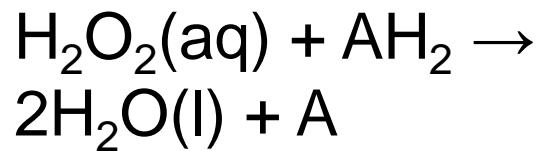
(lievito, batteri)



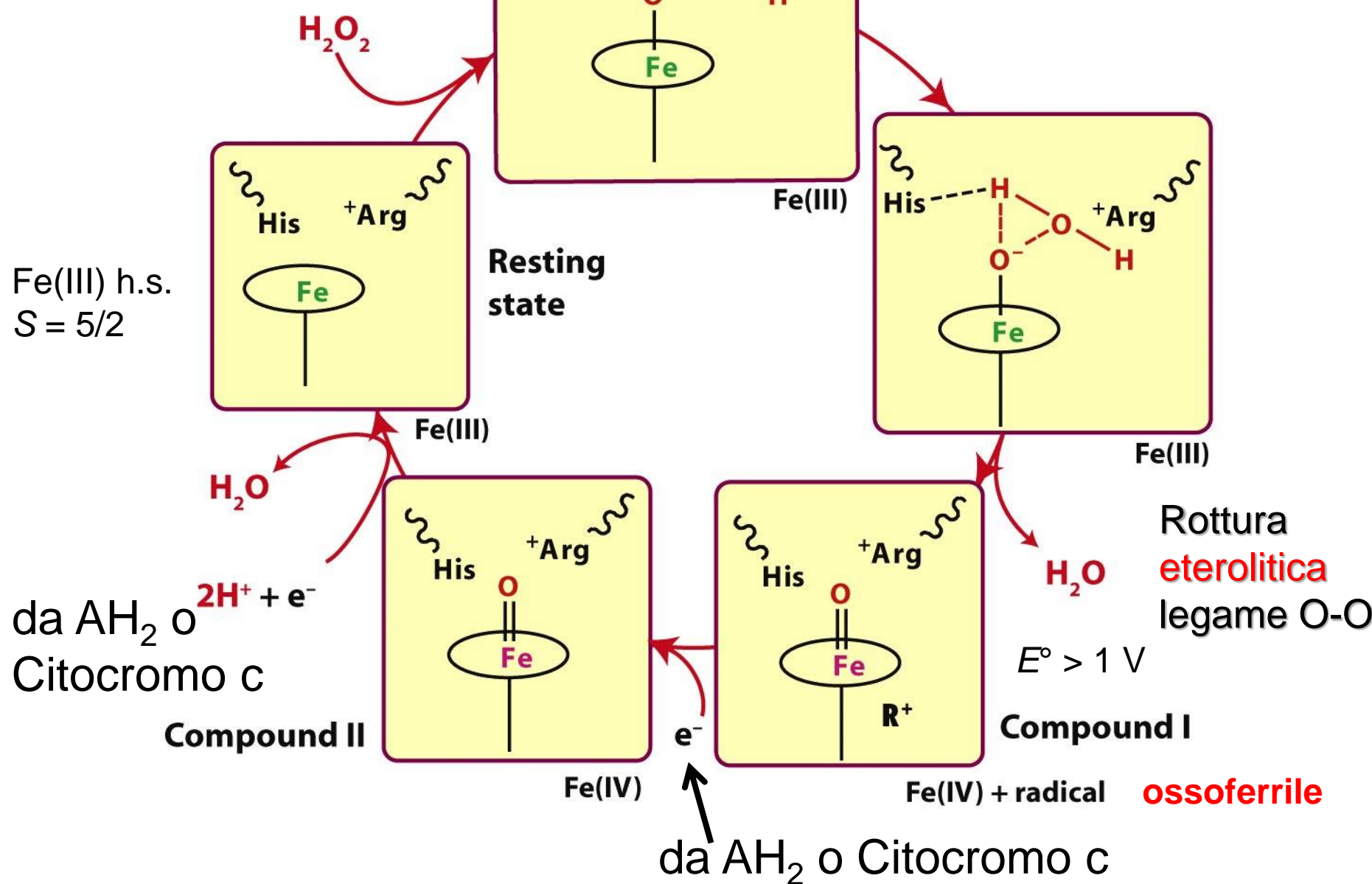
Il legame a idrogeno dell'istidina prossimale con un aspartato le conferisce maggior carattere di imidazolato (Im^-) e contribuisce ad abbassare il potenziale redox del ferro-eme

Sito attivo della
Citocromo c Perossidasi
(lievito, batteri)

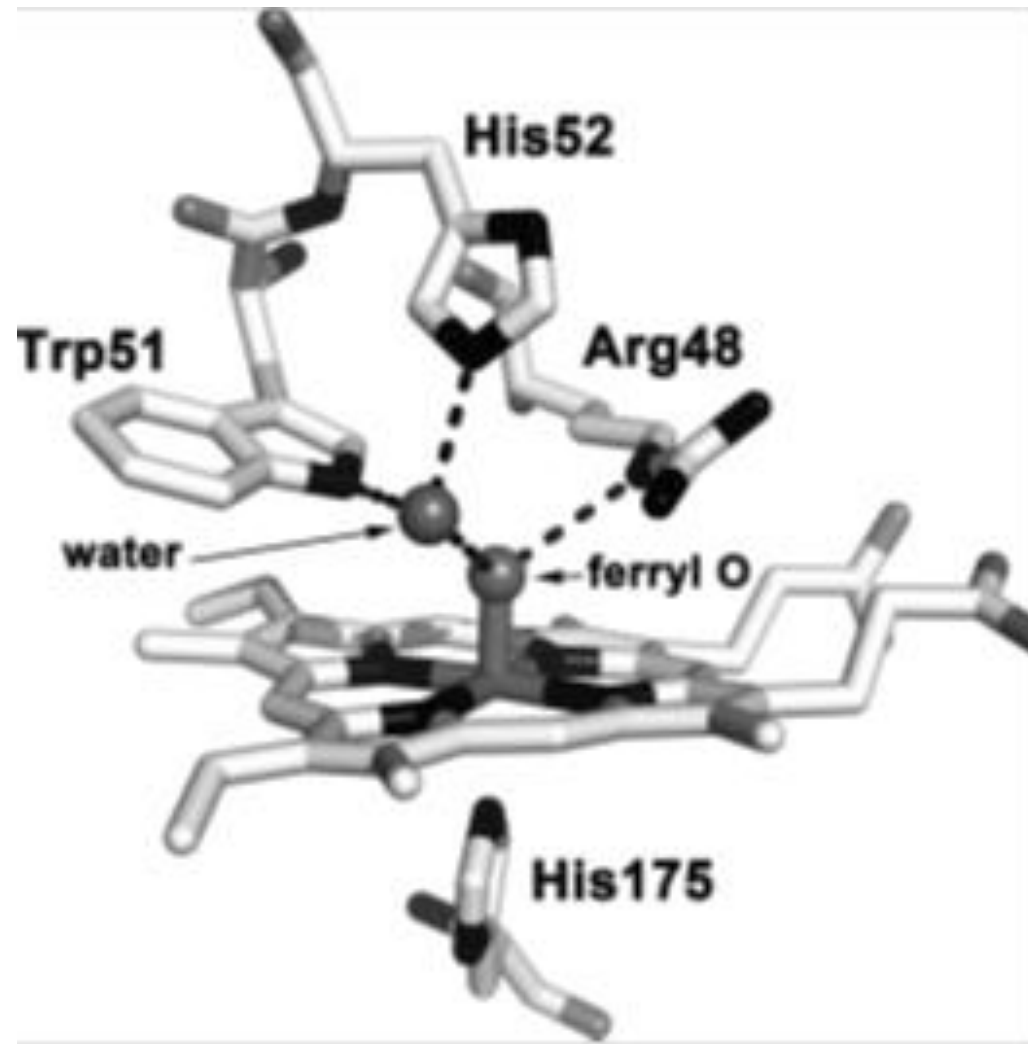




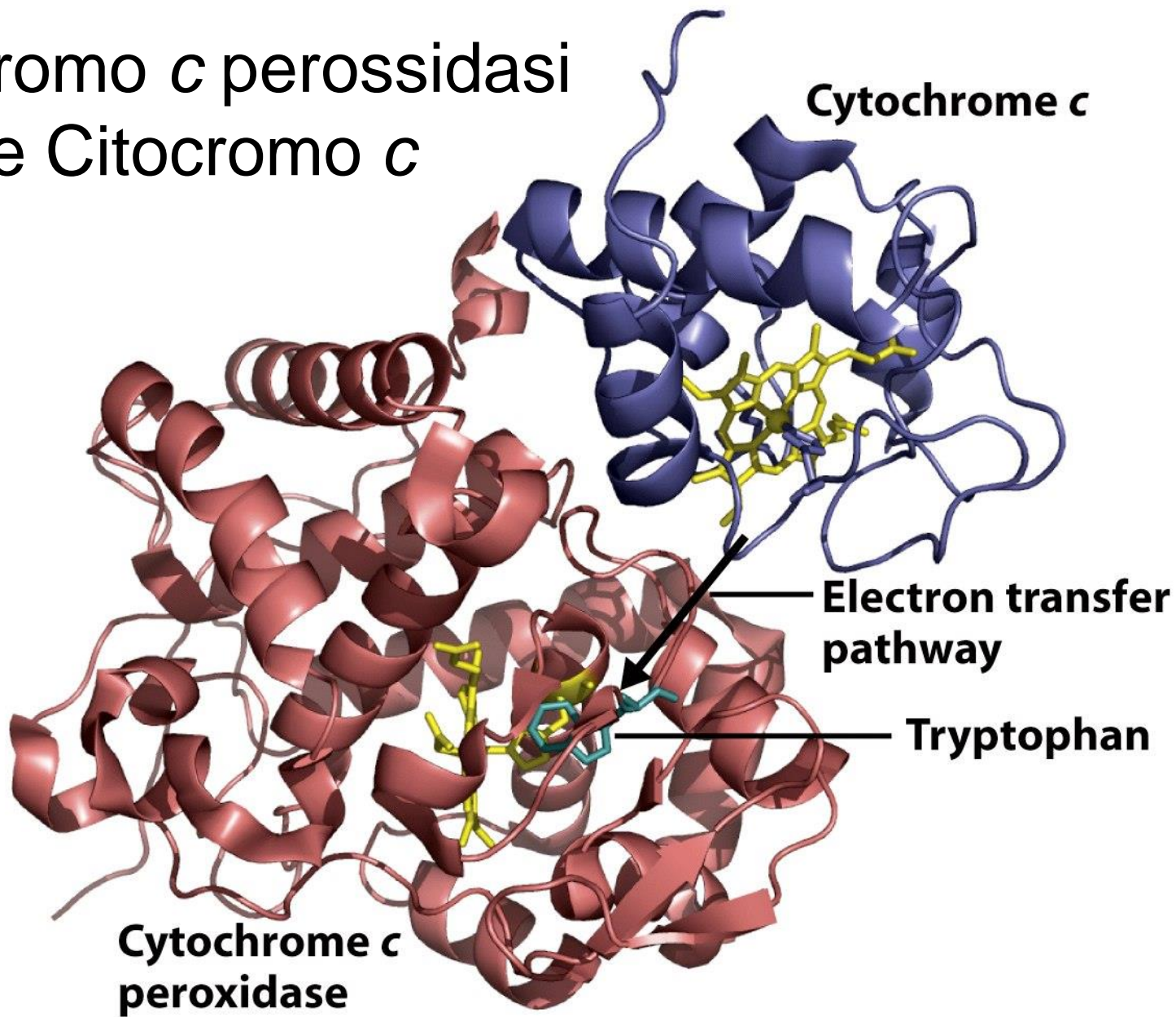
Ciclo catalitico di una perossidasi



Struttura ai raggi X dell'osso-ferrile nella CcP

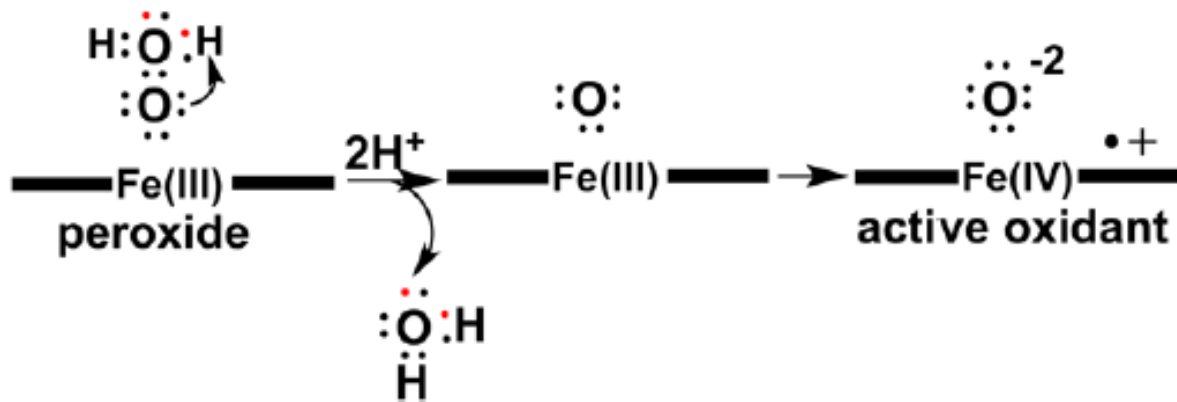
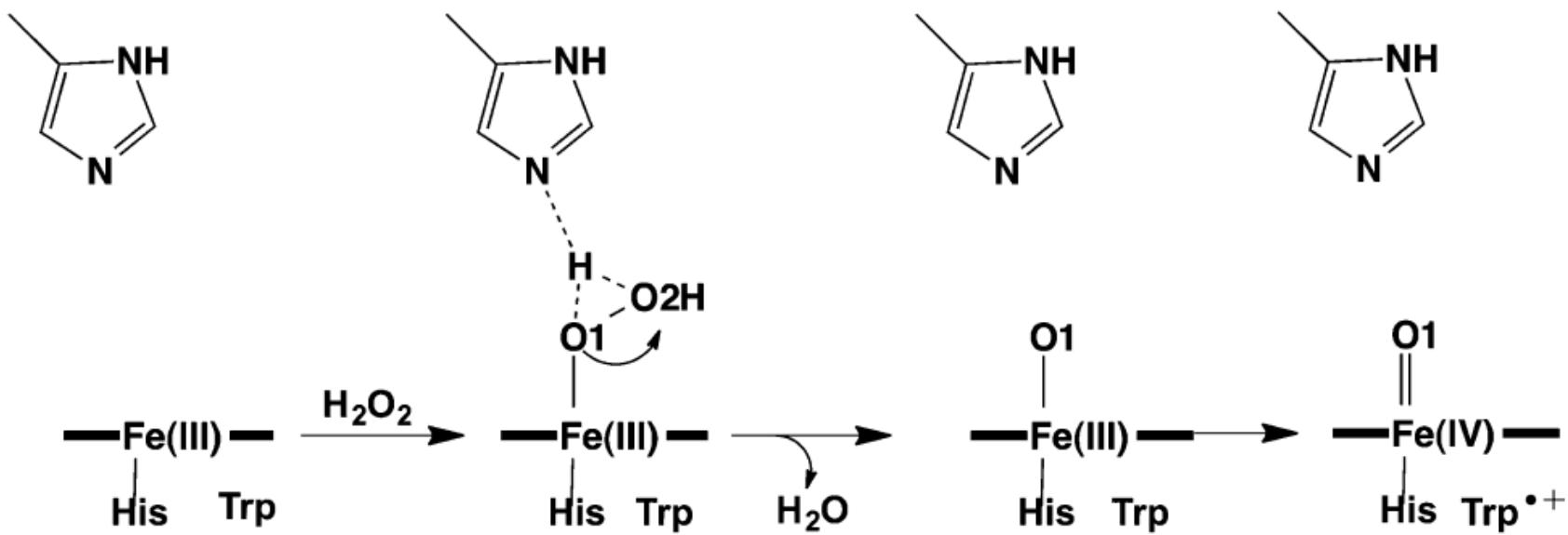


Citocromo c perossidasi e Citocromo c

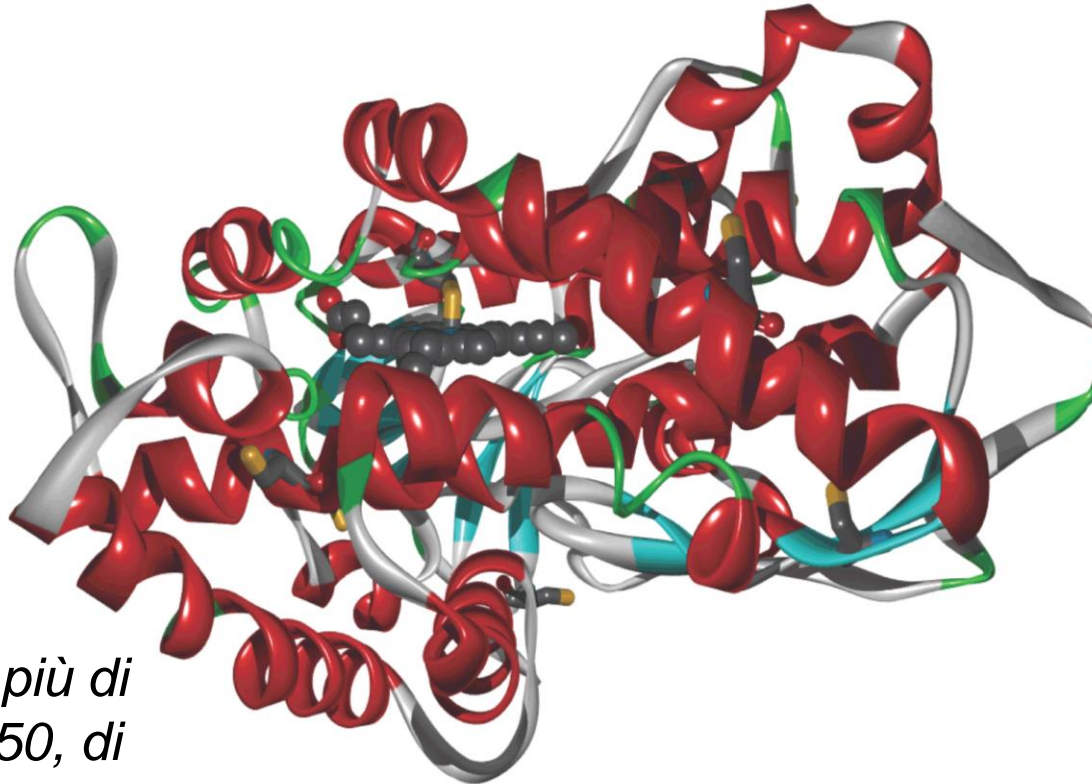


Formazione dell'osso-ferrile

Original Mechanism



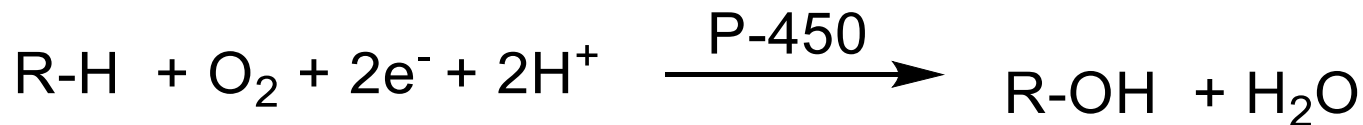
Monoossigenasi



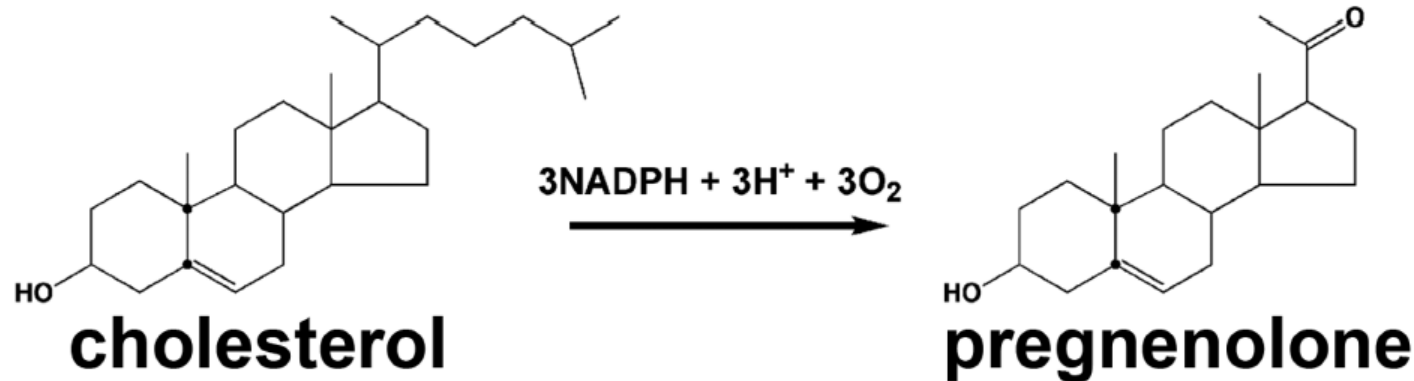
individuati più di
18.000 P450, di
cui 57 nell'uomo

Un solo legante
assiale al ferro,
Cys-

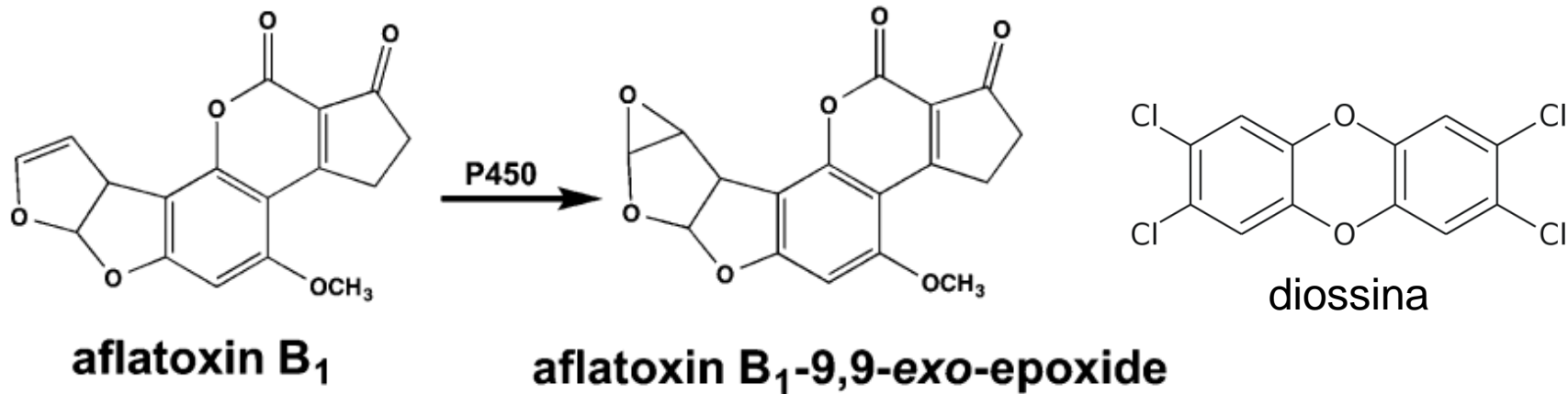
Citocromo P-450
(da *Pseudomonas putida*) 50 kDa



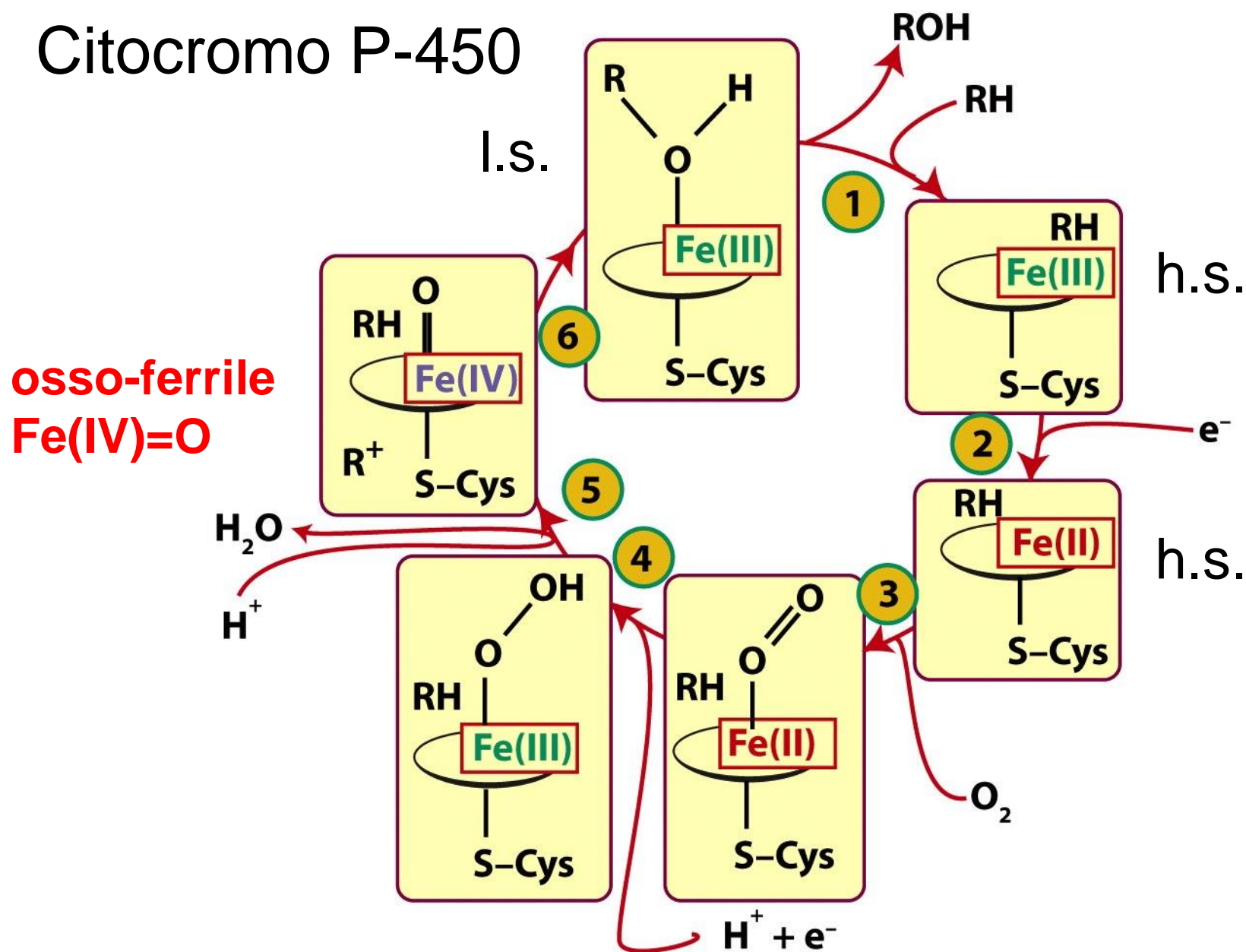
Ossigenazione di substrati specifici da parte di P450



Attivazione (involontaria) di substrati da parte di P450

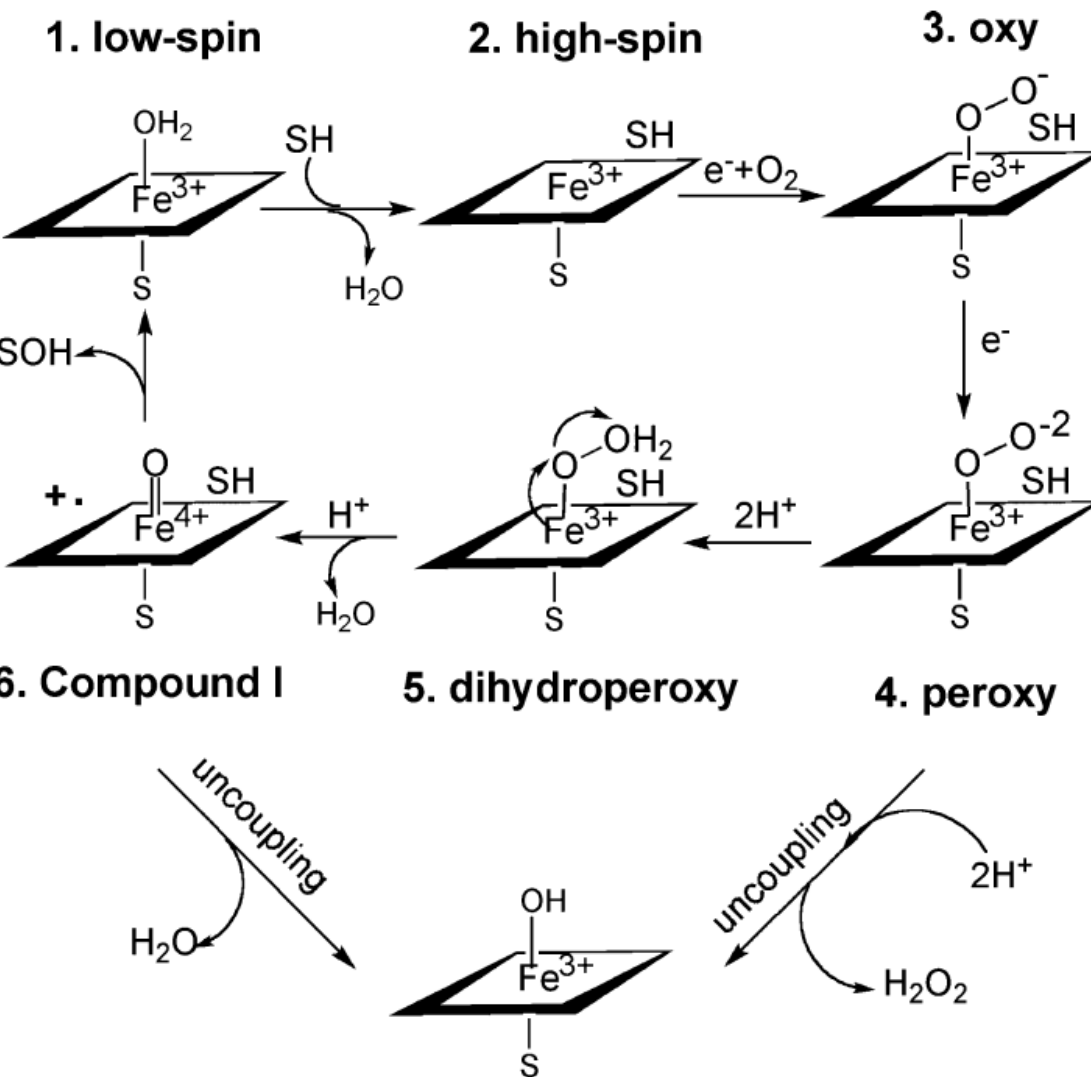


Citocromo P-450

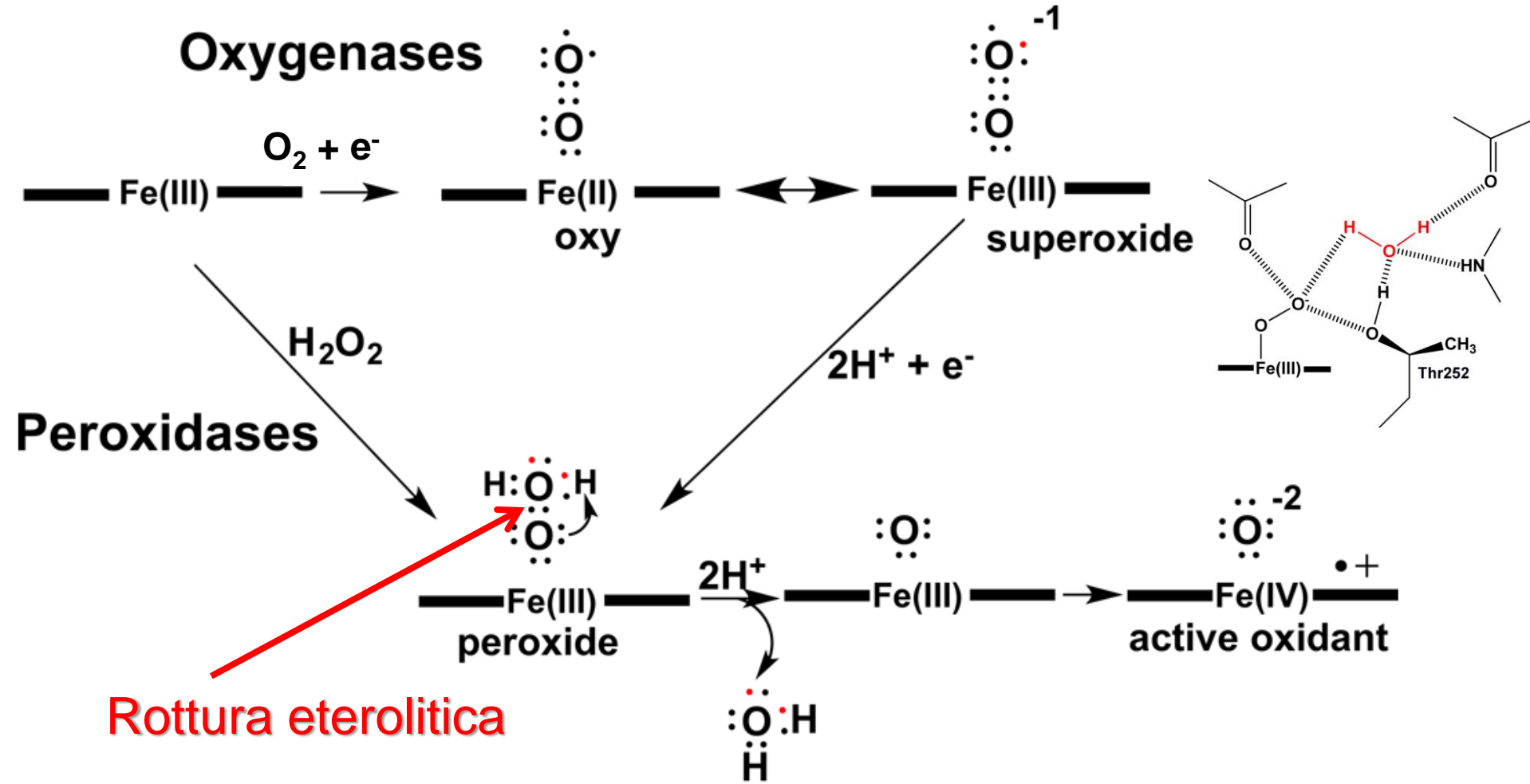


Citocromo P-450

**osso-ferrile
Fe(IV)=O**

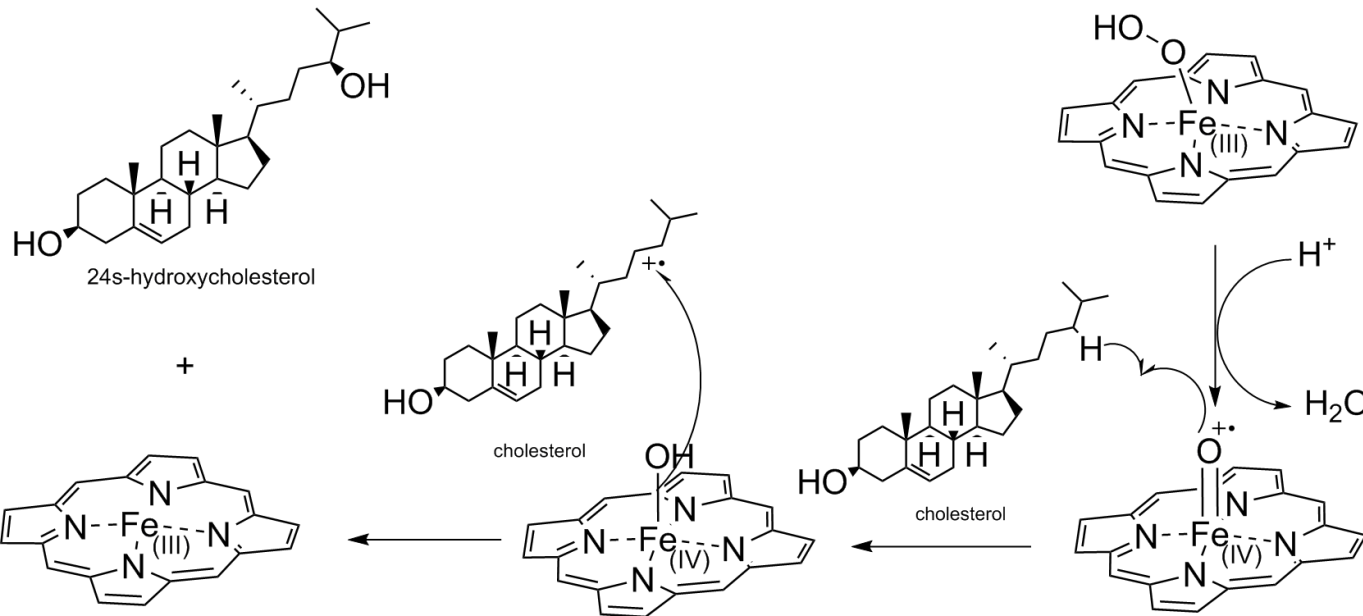
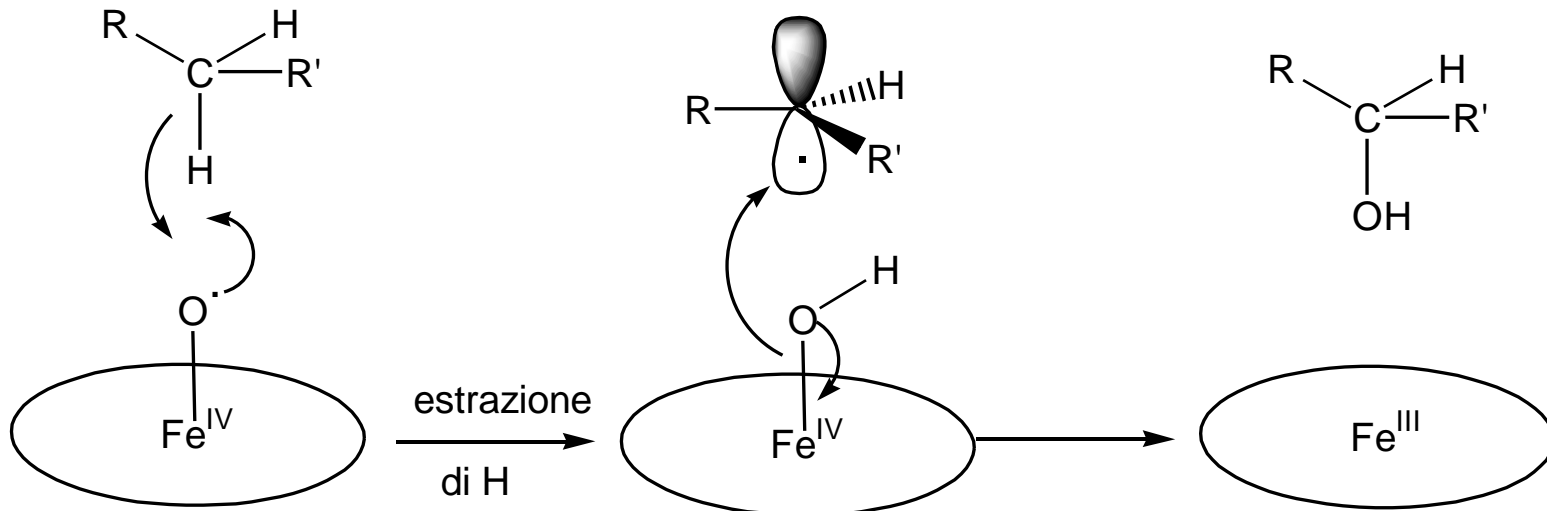


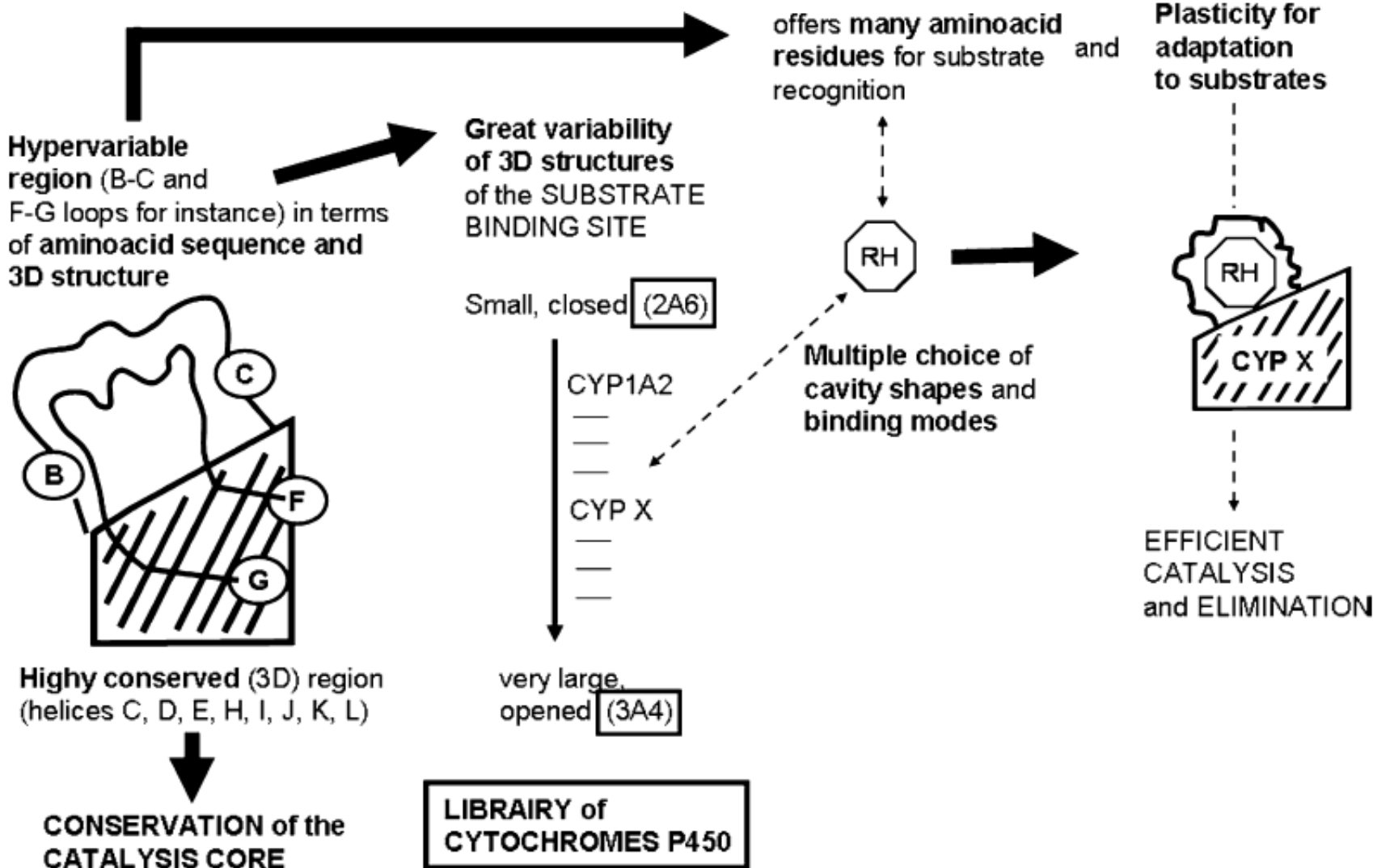
Rottura eterolitica del legame O–O e protonazione dell'ossigeno distale



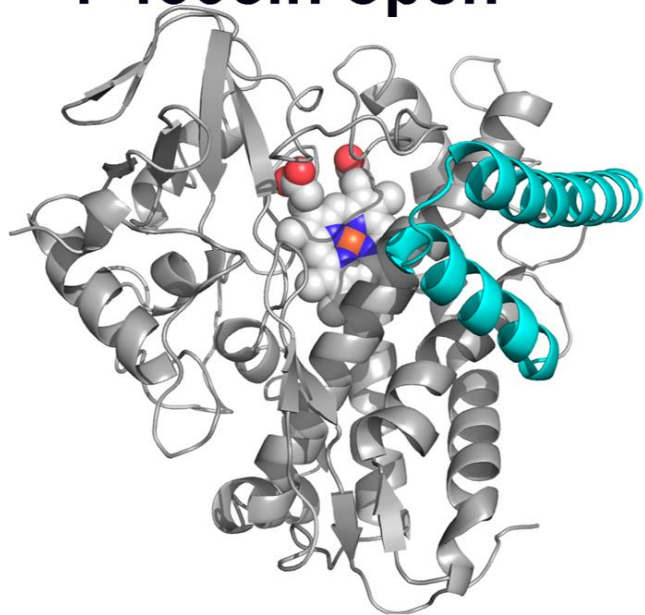
Meccanismo di ossigenazione del substrato

Oxygen Rebound Mechanism

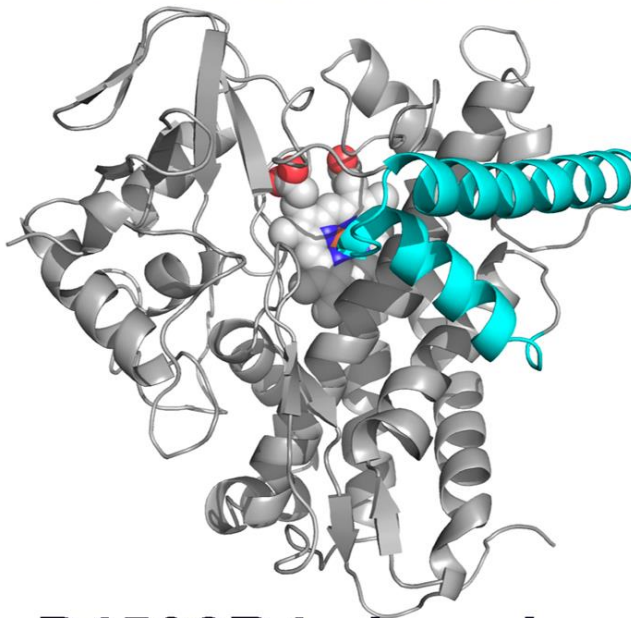




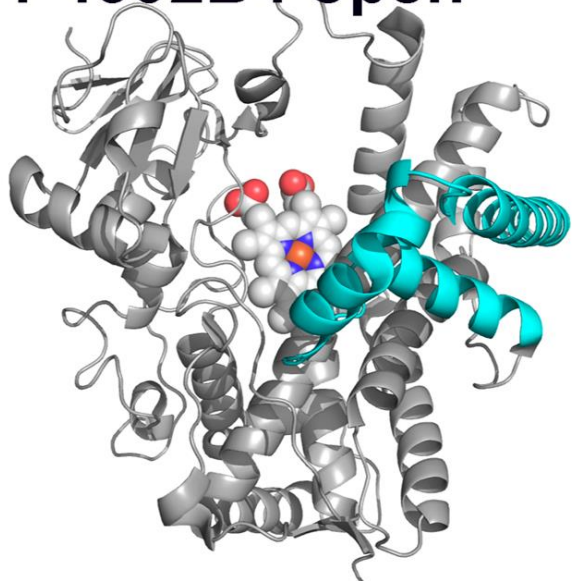
P450cin open



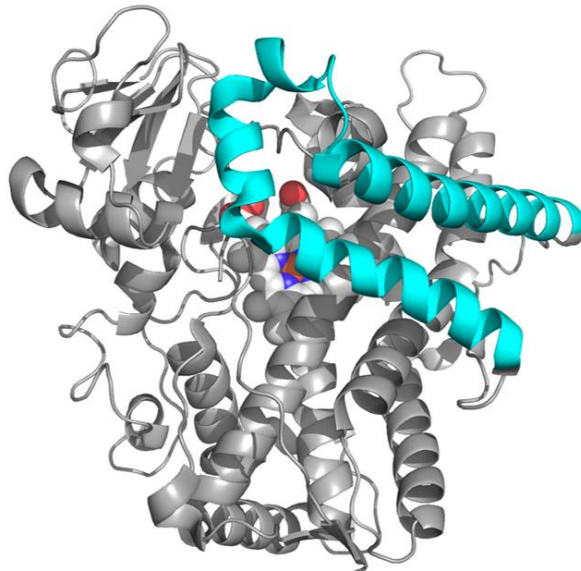
P450cin closed



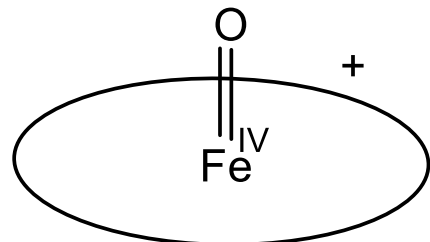
P4502B4 open



P4502B4 closed



P450



cage

Fe^{III}

+ SubO

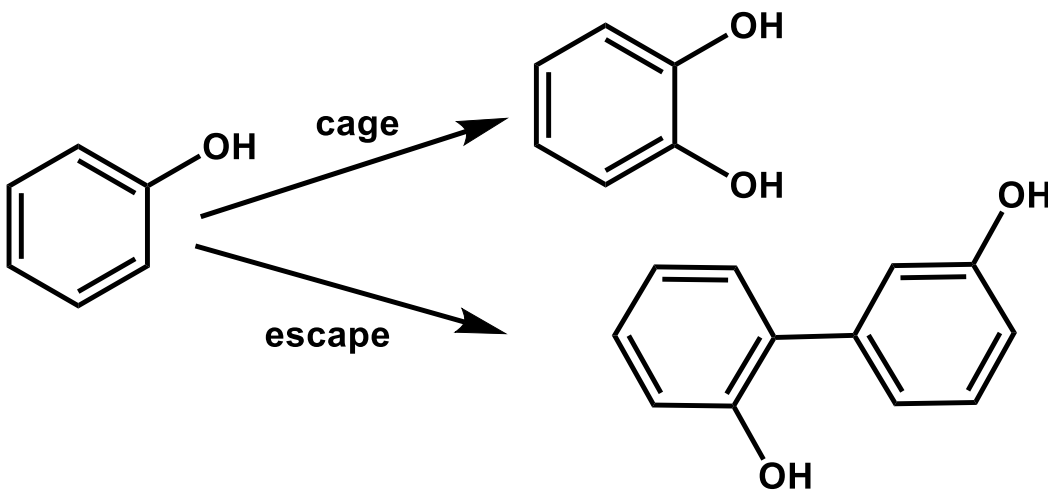
escape

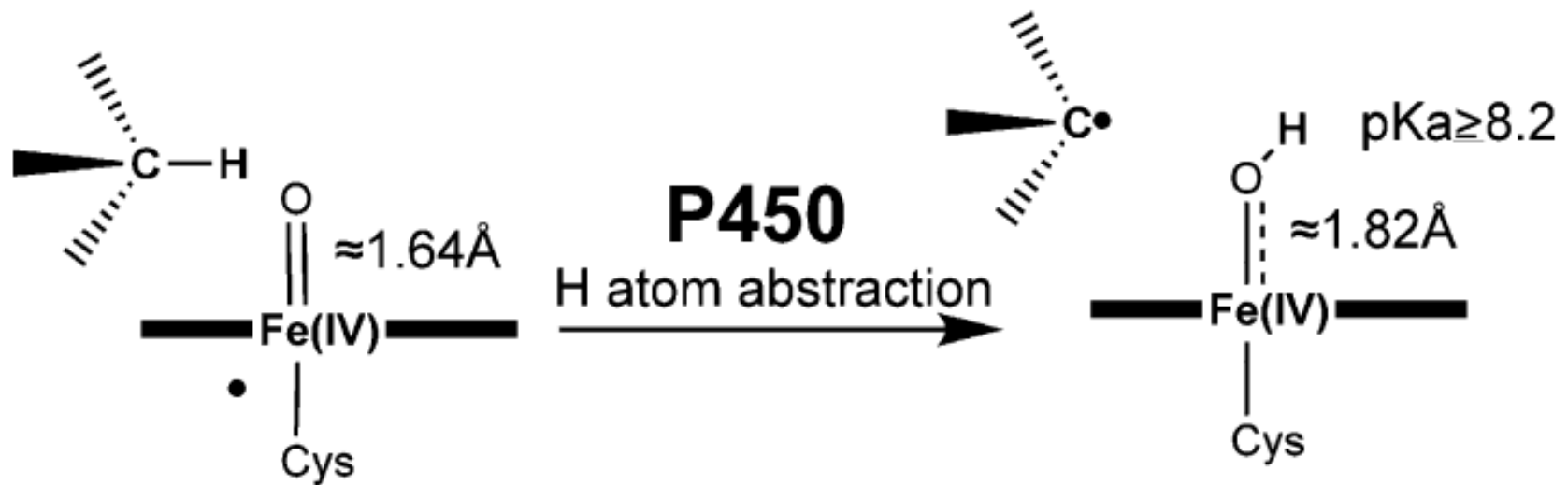
Fe^{III}

+ H₂O + Sub^{·+}

perossidasi

1/2 Sub₂

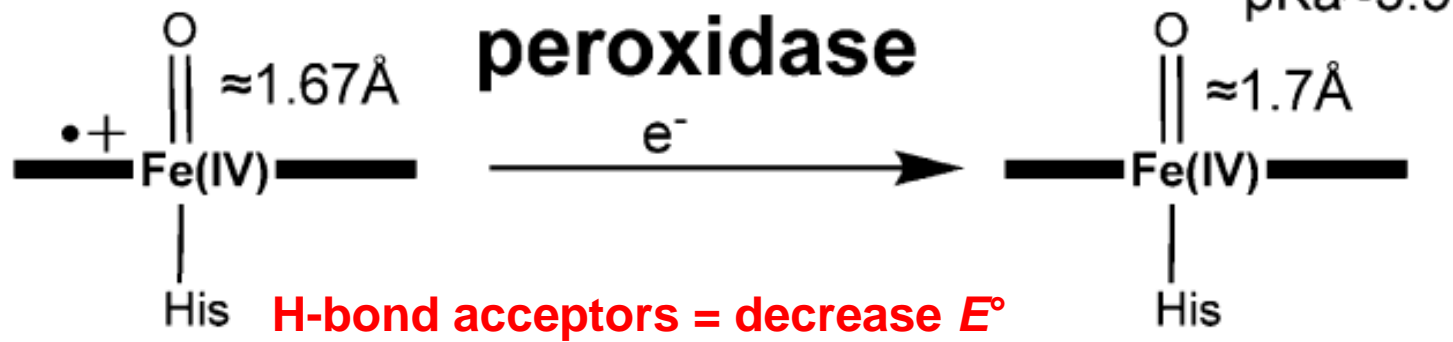




H-bond donors = increase E°

Compound I

Compound II



H-bond acceptors = decrease E°